

Matter as gravitational waves. (On the nature of electron)

by Ernesto López González Ing,

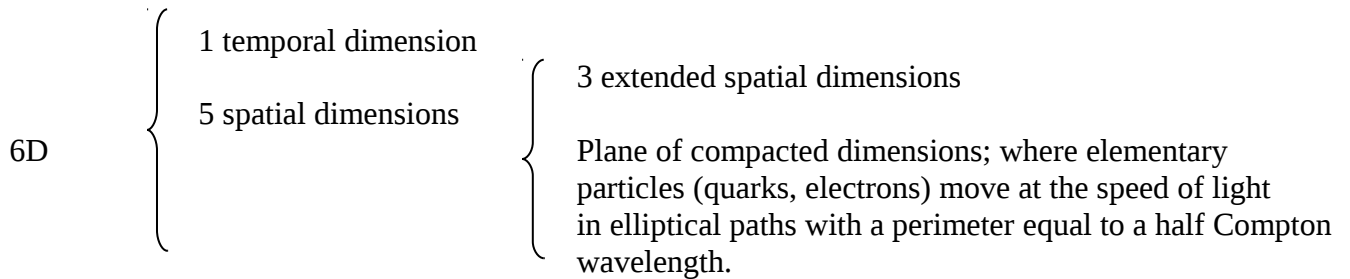
c/ Pablo Neruda 78, Portal 9 4º A 28922 Alcorcón Madrid España. ernesto_lopez@colegiosansaturio.com

October, 2012, revised January 2015

Abstract

Background: At present in physics there are 2 large and seemingly incompatible theories: the theory of General Relativity and Quantum Mechanics. A model to derive Quantum Mechanics from General Relativity is presented here.

Results: A hexadimensional model with the following characteristics is proposed:



The charge / mass ratio and the intrinsic magnetic momentum of the electron solely from its mass are estimated.

The gravitational wave equations are solved for the particular case of a flat three-dimensional space. The boundary conditions are set assuming that the waves are guided by the curvature of compacted dimensions. In particular, exact solutions are obtained for the case of a motionless particle-pulsation, uniform linear motion particle-pulsation and the relativistic hydrogen atom. These solutions justify the postulates of quantum mechanics and provide numerical solutions compatible with the experimental data. Finally a possible origin of inertia is proposed.

Conclusions: We should review the dual wave-particle concept in favour of a solely gravitational wave nature. It is remarkable to note that the same conclusions can be drawn with other configurations of compacted dimensions (whether it be in number, size or topology)

keywords: QuantumMechanics, General Relativity, extra dimensions , Kaluza-Klein, Hydrogen Atom , inercy.

La Materia como ondas gravitatorias. (Sobre la naturaleza del electrón)

por Ernesto López González (Ingeniero),
c/ Pablo Neruda 78, Portal 9 4º A 28922 Alcorcón Madrid España.

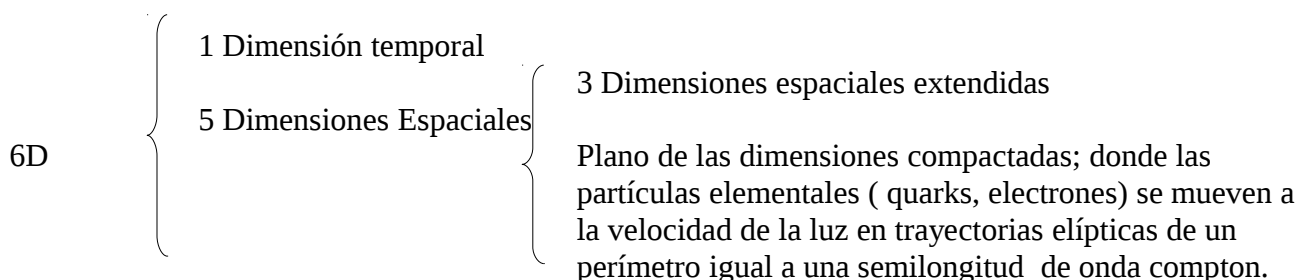
ernesto_lopez@colegiosansaturio.com

Octubre 2012, revisado Enero 2015

Resumen

Antecedentes En la Física actual existen 2 grandes teorías aparentemente incompatibles entre sí: la teoría de la Relatividad General y la Mecánica Cuántica. Se expone a continuación un modelo para deducir la mecánica cuántica a partir de la Relatividad General.

Resultados Se propone un modelo hexadimensional con las siguientes características:



Se estiman la relación carga/masa y el momento magnético intrínseco del electrón a partir únicamente de su masa.

Se resuelven las ecuaciones de onda gravitatoria para el caso particular de un espacio tridimensional plano. Las condiciones de contorno se establecen suponiendo que son ondas guiadas por la curvatura de las dimensiones compactadas. En concreto se consiguen soluciones exactas para los casos de una partícula-pulsación inmóvil, una partícula-pulsación con movimiento rectilíneo y uniforme y el átomo de hidrógeno relativista. Dichas soluciones justifican los postulados de la mecánica cuántica y proporcionan soluciones numéricas compatibles con los experimentos. Finalmente se propone un posible origen de la inercia.

Conclusiones Debería revisarse la concepción dual onda-partícula en favor de una concepción únicamente ondulatoria de naturaleza gravitacional. Es destacable observar que se pueden sacar las mismas conclusiones con otras configuraciones de las dimensiones compactadas (ya sea en número, topología o tamaño).

Palabras clave: Mecánica Cuántica, Relatividad General, dimensiones extras, Kaluza-Klein, átomo de hidrógeno , inercia.

© Ernesto López González. 2012.

Índice de contenido

Postulados:.....	4
Tabla de constantes físicas.....	5
Símbolos.....	6
1.Introducción. La teoría de Kaluza-Klein.....	7
2.Consideraciones a la teoría de Kaluza-Klein.....	8
2.1 Sobre la topología circular de las dimensiones.....	8
3.Significado físico de las 2 dimensiones espaciales adicionales.....	9
3.1 La fórmula relativista de la energía.....	9
3.2 Interpretación de la masa como la inversa de una longitud	11
3.3 La longitud de onda de D'Broglie	11
3.4 Influencia cualitativa de la curvatura del espacio en fenómenos que suceden a escalas muy superiores a la de las dimensiones compactadas.....	13
3.5 Interpretación del principio de incertidumbre.....	15
4.Origen del campo eléctrico.....	15
4.1 Sobre el gravitomagnetismo.....	15
4.2 Campo gravitomagnético producido por las partículas elementales.....	16
5.Los electrones como pulsaciones gravitomagnéticas.....	20
5.1 Ecuación de ondas gravitomagnéticas.....	20
5.2 Ecuación escalar de onda gravitomagnética en 6D. Solución para una partícula-pulsación libre.	22
5.2.1 Topología circular de las dimensiones compactadas.....	23
5.2.2 Topología elíptica de las dimensiones compactadas.....	29
5.2.3 Solución para las dimensiones extendidas.....	34
6.Discusión. Significado físico de la mecánica cuántica	36
6.1 Concepto de partícula. Origen de la inercia.....	36
6.2 Ecuación de Klein-Gordon. Longitud de onda de D'Broglie.....	38
7. Aplicación de la ecuación de onda gravitomagnética al átomo de hidrógeno.....	41
7.1 Ecuación de onda para el átomo de hidrógeno.....	41
7.2 Ecuación de Schrodinger.....	43
7.3 Resolución de la ecuación para las dimensiones extendidas. Caso no relativista.....	43
7.4 Resolución de la ecuación para las dimensiones extendidas. Caso relativista.....	47
Conclusiones.....	54

Nota a la quinta versión:

Las dificultades encontradas a la hora de extender la hipótesis desarrollada en este artículo a las fuerzas nuclear fuerte y débil se debían en gran parte a la errónea interpretación de la constante de gravitación G como una longitud en vez de como una superficie, que sería lo correcto. Este error no afecta al núcleo de la tesis, sino únicamente al tamaño del plano de las dimensiones compactadas, que crece hasta el orden de 10^{-6} m. De hecho los cambios efectuados en el artículo son mínimos, pero resultaban imperativos.

Postulados:

La hipótesis se limita a circunstancias en las que el espacio de las 3 dimensiones espaciales pueda considerarse plano, por tanto las ecuaciones de la relatividad general disminuyen de complejidad y pueden escribirse de una forma similar a las leyes de Maxwell, formulación conocida como gravitomagnetismo. También se restringe a distancias tales en las que pueda despreciarse la influencia de la expansión del universo. Los postulados en los que se basa son:

- 1) La ecuación relativista que liga la energía de un cuerpo con su velocidad es reflejo de un movimiento a la velocidad de la luz en una hipotética dirección perpendicular a las 3 dimensiones espaciales conocidas.
- 2) Esta dimensión extra es la misma que postulaba Kaluza en 1919.
- 3) La topología de la dimensión de Kaluza es cerrada y muy pequeña. (Klein 1926).
- 4) Se establece que con el fin de conservar la isotropía espacial en las dimensiones extendidas es necesaria la existencia de al menos otra dimensión compactada.
- 5) El movimiento de las partículas a grandes velocidades en el plano de estas dimensiones compactadas se traduce en una vibración que queda reflejada en la ley que rige la emisión de un cuerpo negro como un término independiente de la temperatura e igual a $E_r = \frac{h\nu}{2}$.
- 6) La energía que poseen las partículas elementales (electrones, quarks) en reposo es debida a este movimiento, lo que implica que la 4ª dimensión espacial del postulado número 4(a la que llamaremos ξ) se puede identificar con el inverso de la masa de las partículas elementales mediante la relación $\xi_0 = \frac{\hbar}{2m_0c}$.
- 7) La 5ª dimensión espacial, a la que llamaremos η está íntimamente relacionada con la coordenada imaginaria del espacio-tiempo de Minkowsky.
- 8) Las constantes G, μ, ϵ , etc son debidas a la formulación en 3 dimensiones espaciales planas de un espacio de 5 dimensiones espaciales (con dos de ellas extremadamente curvadas y compactadas) y por tanto, desaparecen o se simplifican enormemente cuando se efectúan los cálculos en 6 dimensiones (5 espaciales + tiempo).
- 9) El plano de las dimensiones adicionales tiene topología elíptica.

Tabla de constantes físicas.

Masa del electrón $m_e = 9,10938291 \times 10^{-31} \text{ kg}$

Magnetón de Bohr $\mu_B = 9,27400915 \times 10^{-24} \text{ J} \cdot \text{T}^{-1}$

Momento magnético intrínseco del electrón $\mu_e = -1,001159652 \times \mu_B$

Carga eléctrica elemental $e = 1,602176 \times 10^{-19} \text{ C}$

Constante reducida de Planck $\hbar = 1,054571628 \times 10^{-34} \text{ J} \cdot \text{s}$

Velocidad de la luz $c = 299792458 \text{ m/s}$

Constante de gravitación universal $G = 6,67384 \times 10^{-11} \text{ N} \cdot \text{m}^2 / \text{kg}^2$

Constante de gravitación universal en 6 dimensiones \hat{G}

Permeabilidad magnética del vacío $\mu_B = 4\pi \times 10^{-7} \text{ T} \cdot \text{m} \cdot \text{A}^{-1}$

Símbolos

$\hat{\ } \equiv$ aplicado a una constante , hexadimensional

$\vec{B} \equiv$ Inducción magnética

$\vec{B}_g \equiv$ Inducción gravitomagnética

$\beta r \equiv$ Constante de propagación de una onda

$\oint \vec{E} dl \equiv$ Circulación del vector \vec{E}

$dl \equiv$ diferencial de longitud

$dS \equiv$ diferencial de superficie

$E \equiv$ Energía

$\vec{E} \equiv$ Campo eléctrico

$\vec{E}_g \equiv$ Campo gravitatorio

$E_r \equiv$ Energía residual

$E_0 \equiv$ Energía de una partícula en reposo

$E_c \equiv$ Energía cinética

$E_m \equiv$ Energía mecánica

$\oint \vec{E} dS \equiv$ Flujo del vector \vec{E}

$\vec{H} \equiv$ Excitación magnética

$\vec{H}_g \equiv$ Excitación gravitomagnética

$i \equiv$ intensidad de corriente

$i_g \equiv$ intensidad de corriente másica

$j \equiv$ densidad de corriente

$j_m \equiv$ densidad de corriente másica

$K \equiv$ constante de Boltzman

$k \equiv$ Número de onda circular

$k_c \equiv$ Número de ondas circular de corte

$L \equiv$ Longitud

$\lambda \equiv$ longitud de onda

$\lambda_{apa} \equiv$ longitud de onda aparente

$\lambda_0 \equiv$ longitud de onda para una partícula en reposo

$\vec{\nabla}^2 \equiv$ Laplaciano

$\vec{\nabla}_{6D}^2 \equiv$ Laplaciano hexadimensional

$\vec{\nabla}_{3D}^2 \equiv$ Laplaciano tridimensional

$m \equiv$ masa

$m_0 \equiv$ masa en reposo

$\mu \equiv$ momento magnético

$\mu_g \equiv$ momento gravitomagnético

$\vec{n} \equiv$ vector normal

$\nu \equiv$ frecuencia

$p \equiv$ momento lineal

$p_e \equiv$ perímetro

$Q, q \equiv$ carga eléctrica

$q_e, e \equiv$ Carga del electrón

$R \equiv$ curvatura escalar

$r \equiv$ radio

$T \equiv$ tensor de materia – impulso

$v \equiv$ velocidad

$v_g \equiv$ velocidad de grupo

$v_p \equiv$ velocidad de propagación

$\omega \equiv$ frecuencia angular

$\xi \equiv$ Dimensión radial compactada

$\xi_0 \equiv$ Dimensión radial compactada correspondiente a la m

1.Introducción. La teoría de Kaluza-Klein

La teoría de Kaluza-Klein pretende unificar las 2 fuerzas fundamentales de la gravedad y el electromagnetismo mediante la introducción de una cuarta dimensión espacial. Fue enunciada por primera vez por el matemático polaco Kaluza, el cual extendió la relatividad general a un espacio-tiempo de 5 dimensiones. Las ecuaciones resultantes pueden dividirse en varios grupos de ecuaciones, uno de ellos se corresponde con las ecuaciones de campo de Einstein (gravedad), otro con las ecuaciones de Maxwell (electromagnetismo) y finalmente un campo escalar de significado físico poco claro.

Ecuaciones de campo de Einstein

g_{11}	g_{12}	g_{13}	g_{14}	M a x w e l l	
g_{21}	g_{22}	g_{23}	g_{24}		
g_{31}	g_{32}	g_{33}	g_{34}		
g_{41}	g_{42}	g_{43}	g_{44}		
M a x w e l l				Φ	Campo escalar

Es decir, el mero hecho de que cada partícula tenga libertad para moverse a través de una dimensión adicional permite la unificación de la gravedad con el electromagnetismo. A pesar de este resultado espectacular la teoría adolecía de un grave problema, y es que, ¿donde se encuentra esta 4º dimensión?. Si el mundo poseyese 4 dimensiones espaciales la gravedad disminuiría con el cubo de la distancia, circunstancia que contradice la experiencia diaria, ya que disminuye con el cuadrado de la distancia.

Con el fin de intentar explicar porque la dimensión extra no afecta a las leyes físicas Oscar Klein en 1926 propuso que la 4º dimensión espacial se encuentra curvada sobre sí misma en un círculo de radio extremadamente pequeño (por debajo de 10^{-18} m) de tal manera que una partícula que se mueva una pequeña distancia en la dirección de esta dimensión debería retornar al punto de inicio. La distancia que una partícula debe viajar antes de retornar a su punto de inicio se define como el tamaño de esa dimensión y esta dimensión extra se dice que esta compactada

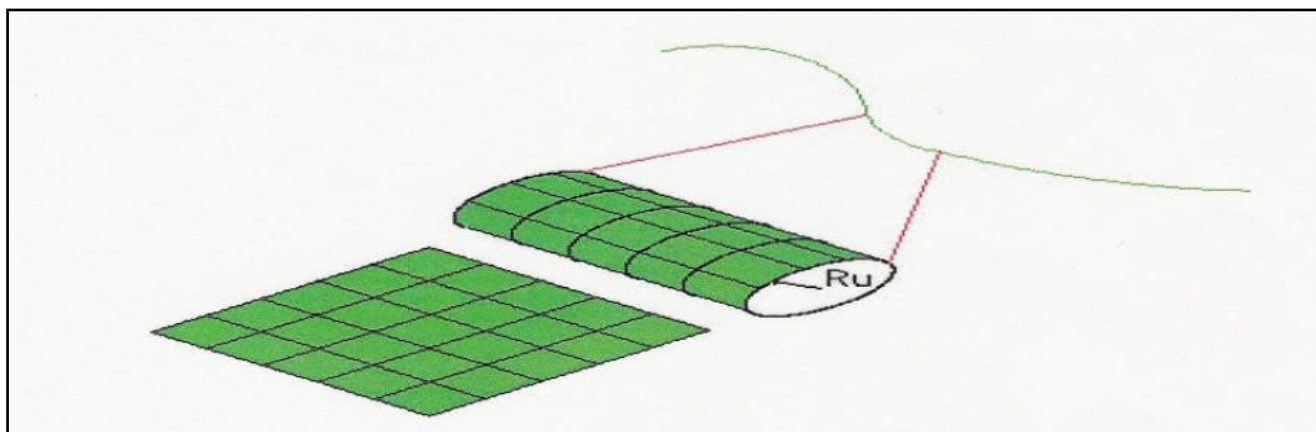


Figura 1. Proceso de compactación de una dimensión y ejemplo de como un cilindro tridimensional aparenta un hilo unidimensional cuando el radio de compactación es suficientemente pequeño.

Por tanto a partir de ahora deberíamos representamos el espacio-tiempo como si en cada punto existiese un pequeño círculo en el cual las partículas se pueden mover libremente.

En la teoría de Kaluza-Klein la pura geometría de un espacio-tiempo de 5 dimensiones vacío (sin masa) conduce a las ecuaciones de un mundo tetradimensional con masa. Lamentablemente la aplicación de dicha teoría al estudio del electrón proporciona una relación masa-carga que difiere de la experimental unos 20 ordenes de magnitud, razón por la cual fue abandonada en gran parte durante varias décadas.

2.Consideraciones a la teoría de Kaluza-Klein

2.1 Sobre la topología circular de las dimensiones

La curvatura de una dimensión exige la existencia de otra sobre la que curvarse, como puede comprobarse simplemente dibujando un círculo. Si nos centramos en la hipotética 4ª dimensión espacial de topología circular de la teoría de Kaluza-Klein tenemos 2 opciones:

1. La 4ª dimensión espacial se curva sobre alguna de las dimensiones espaciales conocidas, lo que provocaría que el espacio no fuese isótropo(las leyes de la Física cambiarían según las direcciones espaciales) , circunstancia que contradice la experiencia.
2. La 4ª dimensión espacial se curva sobre otra dimensión espacial extra también compactada , como por ejemplo en el caso de un toroide. Es fácil ver que, independientemente de su numero, podemos separar las dimensiones en 2 grandes grupos, las extendidas y las compactadas.

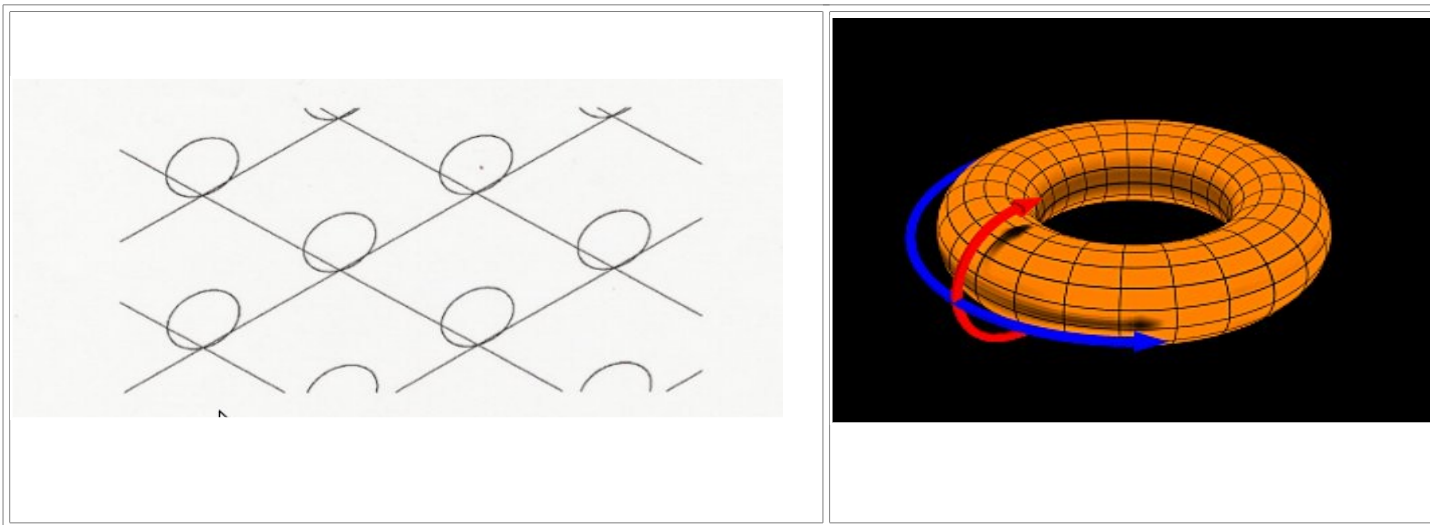
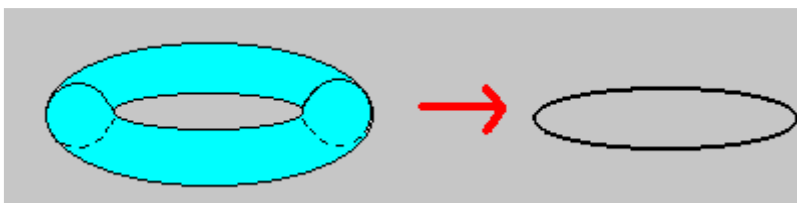


Figura 2. Representación de una hipotética cuarta dimensión espacial arrollada sobre una dimensión extendida o sobre otra dimensión compactada.



3. Significado físico de las 2 dimensiones espaciales adicionales

3.1 La fórmula relativista de la energía.

La fórmula relativista de la energía de un cuerpo en movimiento es:

$$E^2 = (m_0 c^2)^2 + (p c)^2 \quad \text{donde:}$$

- E = Energía de un cuerpo en movimiento
- m_0 = masa en reposo del cuerpo
- c = velocidad de la luz
- p = momento lineal del cuerpo, igual al producto de la masa por la velocidad.

Si escribimos la energía en función de las componentes de la velocidad V_x , V_y y V_z tendremos:

$$E^2 = (m_0 \cdot c)^2 + (m_0 \cdot c \cdot V_x)^2 + (m_0 \cdot c \cdot V_y)^2 + (m_0 \cdot c \cdot V_z)^2$$

ecuación que sugiere que todos los cuerpos se mueven a la velocidad de la luz en una dirección perpendicular a V_x , V_y y V_z .

En el seno de la teoría de la relatividad el término $(m_0 c^2)$ se interpreta como el resultado del desplazamiento de los cuerpos a través del tiempo a la velocidad de la luz. Otra posibilidad consiste en identificar este término con la energía debida a un movimiento en la dirección de la cuarta dimensión espacial postulada en la teoría de Kaluza-Klein.

Este movimiento a la velocidad de la luz de las partículas elementales sería en la dirección R_v .

Ahora bien, debido a la topología circular de la dimensión adicional dicho movimiento visto perpendicularmente desde las otras dimensiones expandidas debería percibirse como una vibración.

Considerando la modificación propuesta en 1913 por Albert Einstein y Otto Stern de la fórmula deducida en 1900 por Max Planck para un radiador de energía aislada tenemos:

$$E = \frac{h \cdot \nu}{e^{\frac{h \cdot \nu}{k \cdot T}} - 1} + \frac{h \cdot \nu}{2}$$

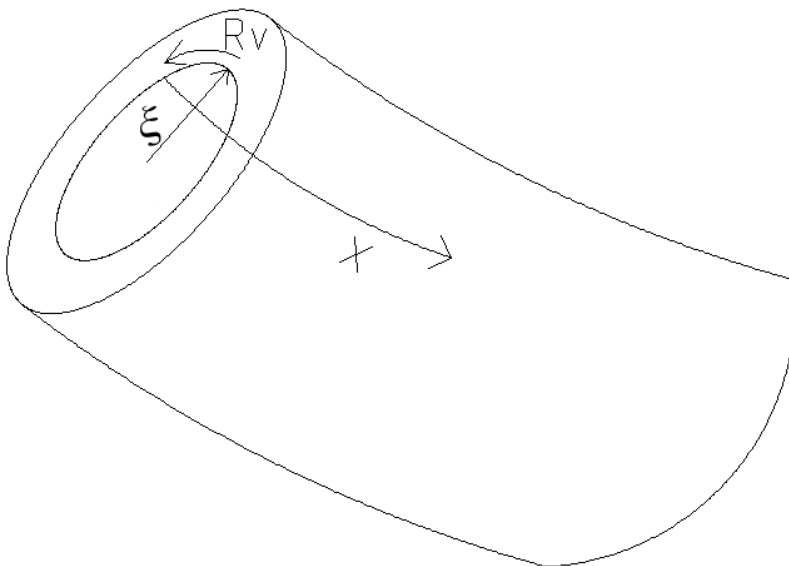


Fig. 3 Sistema de coordenadas compactadas.

donde:

h = constante de Plank , K = constante de Boltzman , ν = frecuencia T = temperatura absoluta

se puede observar que incluso a la temperatura del cero absoluto cualquier partícula posee una energía residual de vibración igual a:

$$E_r = \frac{h \cdot \nu}{2}$$

Esta ecuación ha sido interpretada en numerosas ocasiones como un reflejo de la energía de las fluctuaciones cuánticas del vacío. Sin embargo podría interpretarse esa vibración como la proyección en nuestras 3 dimensiones del movimiento de las partículas a la velocidad de la luz en la 4ª dimensión espacial R_v . En ese caso podemos igualar las 2 energías

$$\begin{array}{l}
 E = m_0 c^2 \\
 \\
 E_r = \frac{h \cdot \nu}{2}
 \end{array}
 \left|
 \begin{array}{l}
 m_0 c^2 = \frac{h \cdot \nu}{2} \\
 \\
 \nu = \frac{2 \cdot m_0 c^2}{h}
 \end{array}
 \right.
 \begin{array}{l}
 \longrightarrow \\
 \\
 \text{frecuencia de los electrones en función de su masa.}
 \end{array}$$

Si la trayectoria fuese circular y suponiendo que todas las partículas viajan a la velocidad de la luz se puede deducir el radio de dicho movimiento circular:

$$\begin{array}{l}
 \nu = \frac{c}{2\pi \xi_0} \\
 \\
 \nu = \frac{2m_0 c^2}{h}
 \end{array}
 \left|
 \begin{array}{l}
 \xi_0 = \frac{h}{4\pi m_0 c} = \frac{\bar{h}}{2m_0 c} \text{ Para el caso del electrón tendríamos} \\
 \\
 \xi_e = \frac{\bar{h}}{2m_e c} = 1,93079616 \cdot 10^{-13} \text{ m}
 \end{array}
 \right.$$

donde h representa la constante reducida de Planck y ξ el radio de la trayectoria circular a través de las 2 dimensiones compactadas.

El perímetro sería:

$$\boxed{p_e = \frac{h}{2m_0 c}}$$

lo que representa una semilongitud de onda de D'Broglie para una partícula que se desplace a la velocidad de la luz.

3.2 Interpretación de la masa como la inversa de una longitud

La relación anterior proporciona una interpretación física de la masa en reposo como la inversa de una longitud.

$$\xi_0 = \frac{\bar{h}}{2 m_0 c} = \frac{1,7588 \cdot 10^{-43}}{m_0} \quad \text{en unidades del S.I.}$$

Esta interpretación permite un nuevo punto de vista de fenómenos ya conocidos, por ejemplo si analizamos dimensionalmente la energía tendremos:

$$\text{Energía} = \text{Fuerza} \cdot \text{desplazamiento} = [M L T^{-2} \cdot L] = [L^{-1} \cdot L^2 T^{-2}] = [L T^{-2}]$$

es decir, proporciona para la energía gravitatoria unidades de aceleración, que coincide con el fenómeno que se manifiesta físicamente.

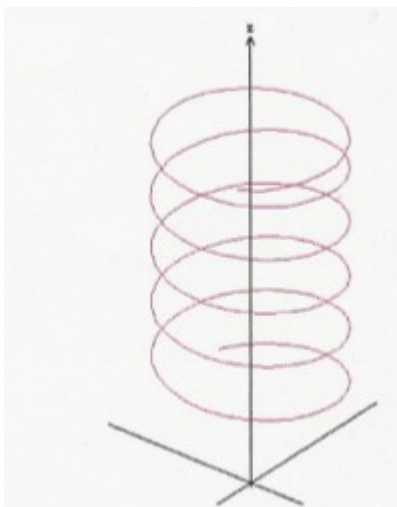
Si analizamos dimensionalmente la densidad tenemos:

Densidad = Masa/Volumen = $[L^{-4}]$ es decir, unidades de curvatura, coincidiendo con la teoría de la relatividad general que relacionaba directamente la densidad de materia-energía con la curvatura del espacio-tiempo.

Por otro lado si consideramos la ecuación que relaciona la curvatura escalar R con el tensor de materia-impulso T tenemos: $-R = \frac{8\pi G}{c^4} \cdot T$ donde el factor $\frac{8\pi G}{c^4} = 2,0766 \cdot 10^{-43}$ es del mismo orden de magnitud que el factor $\frac{\bar{h}}{2c} = 1,7588 \cdot 10^{-43}$.

3.4 La longitud de onda de D'Broglie.

La composición del movimiento circular en el plano de las dimensiones compactadas con cualquier desplazamiento en el resto de dimensiones conformaría trayectorias helicoidales.



El triángulo de velocidades puede representarse por tanto:

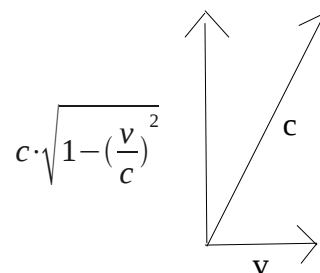


Fig. 4 Trayectorias helicoidales

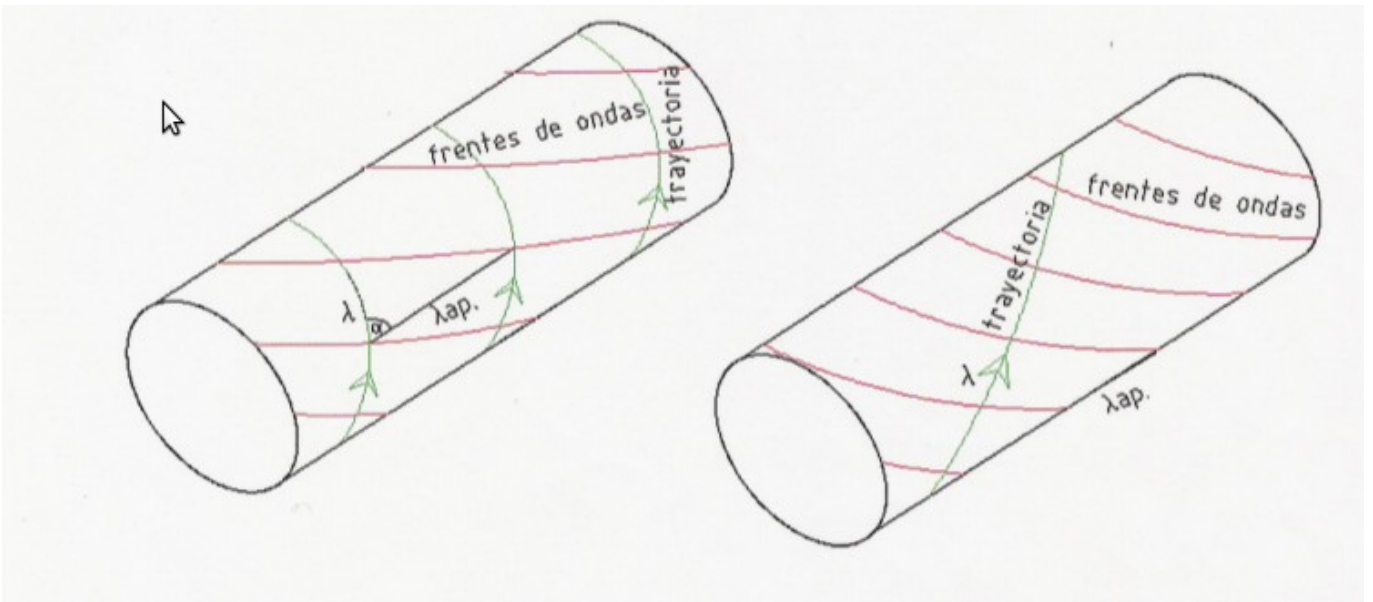


Fig 5. Trayectorias reales de las partículas en el espacio.

La onda transversal asociada a una partícula material que se mueva a la velocidad de la luz tendría una longitud de onda igual a :

$$\lambda_0 = \frac{h}{m_0 \cdot c}$$

Sin embargo, para un observador tetradimensional que estudiase este fenómeno le parecería que a la partícula material tiene asociada una onda de λ aparente igual a la proyección sobre las dimensiones no compactadas.

Por tanto:

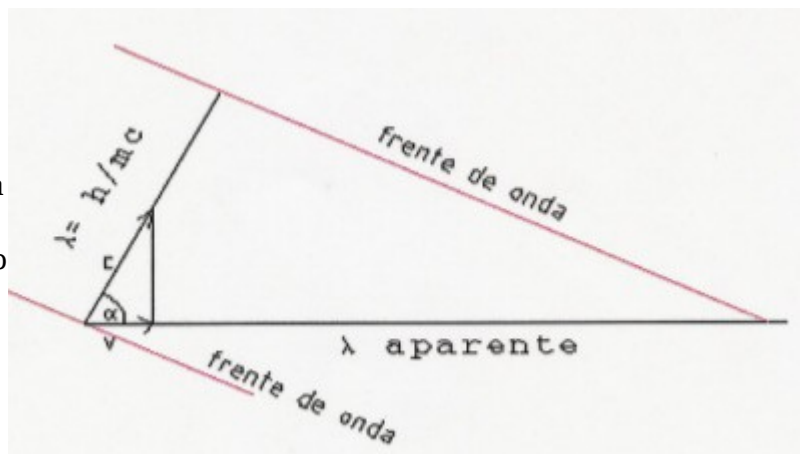


Fig 6. Triangulo de velocidades.

$$\cos \alpha = \frac{v}{c}$$

$$\frac{v}{c} = \frac{\frac{h}{m_0 \cdot c}}{\lambda_{apa}} \quad \longrightarrow \quad \lambda_{apa} = \frac{h}{m_0 \cdot v}$$

$$\cos \alpha = \frac{\lambda_0}{\lambda_{apa}} = \frac{\frac{h}{m_0 \cdot c}}{\lambda_{apa}}$$

Como la longitud de onda aparente es una dimensión en la dirección del movimiento aparecerá contraído por el efecto relativista $\lambda_{apa} = \frac{h}{m_0 \cdot v} \cdot \sqrt{1 - \left(\frac{v}{c}\right)^2}$, que coincide con la longitud de onda de D'Broglie para las partículas materiales.

3.4 Interpretación del principio de incertidumbre.

El principio de incertidumbre para la posición y el momento afirma que $\Delta x \cdot \Delta p \geq \frac{\hbar}{2}$ por tanto la incertidumbre del momento debe satisfacer $\Delta p \geq \frac{\hbar}{2 \Delta x}$, si usamos la ecuación relativista que liga la energía con el momento $p = \gamma m_0 v$ cuando la incertidumbre del momento supera el valor de $m_0 c$ entonces la incertidumbre de la energía superaría el valor de $m_0 c^2$, suficiente para generar otra partícula del mismo tipo. Por tanto debe existir una limitación fundamental en la incertidumbre de la posición

$$\Delta x \geq \frac{1}{2} \cdot \left(\frac{\hbar}{m_0 c} \right) \text{ o lo que es lo mismo } \Delta x \geq \xi_0 .$$

Se infiere por tanto que el principio de incertidumbre deriva del hecho de estudiar fenómenos que suceden en 5 dimensiones espaciales como si se tratase de fenómenos con 3 dimensiones espaciales. No es de extrañar por tanto que la longitud de onda compton represente la longitud que define el limite entre el comportamiento como partícula o como onda.

3.5 Influencia cualitativa de la curvatura del espacio en fenómenos que suceden a escalas muy superiores a la de las dimensiones compactadas.

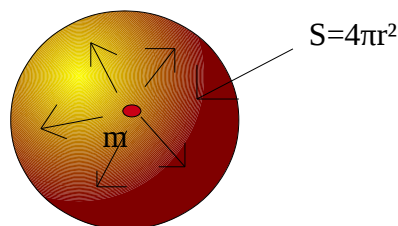
En el análisis tradicional de la teorías del tipo Kaluza-Klein las constantes de las leyes físicas, ($\mu_0, G, \epsilon_0, \dots$) deben variar según el número de dimensiones en los que se expresen. Este convencimiento se ha basado en consideraciones similares a las que se exponen a continuación.

Si tomamos el equivalente a la ley de Gauss para el campo gravitatorio en su forma integral tenemos:

$$\oint_s E_g \cdot dS = 4\pi G \cdot m$$

"El flujo gravitatorio a través de una superficie cerrada es igual a la masa encerrada en dicha superficie multiplicada por $4\pi G$ "

$$4\pi r^2 \cdot E_{g5D} = 4\pi G \cdot m_0$$



Notese que la ecuación resultante es una ecuación tetradimensional, ya que $m_0 = \frac{\hbar}{2\xi_0 c}$, y por tanto

$$E = E(L_x, L_y, L_z, \xi_0)$$

Realizando un ejercicio de imaginación podemos suponer un mundo de 5D en el cual una de las dimensiones espaciales extendidas se compactase linealmente hasta una extensión "a" tal y como se muestra en la figura 7. Veamos que ocurriría cuando los físicos de ese mundo analizaran la ley de Gauss en 4 D.

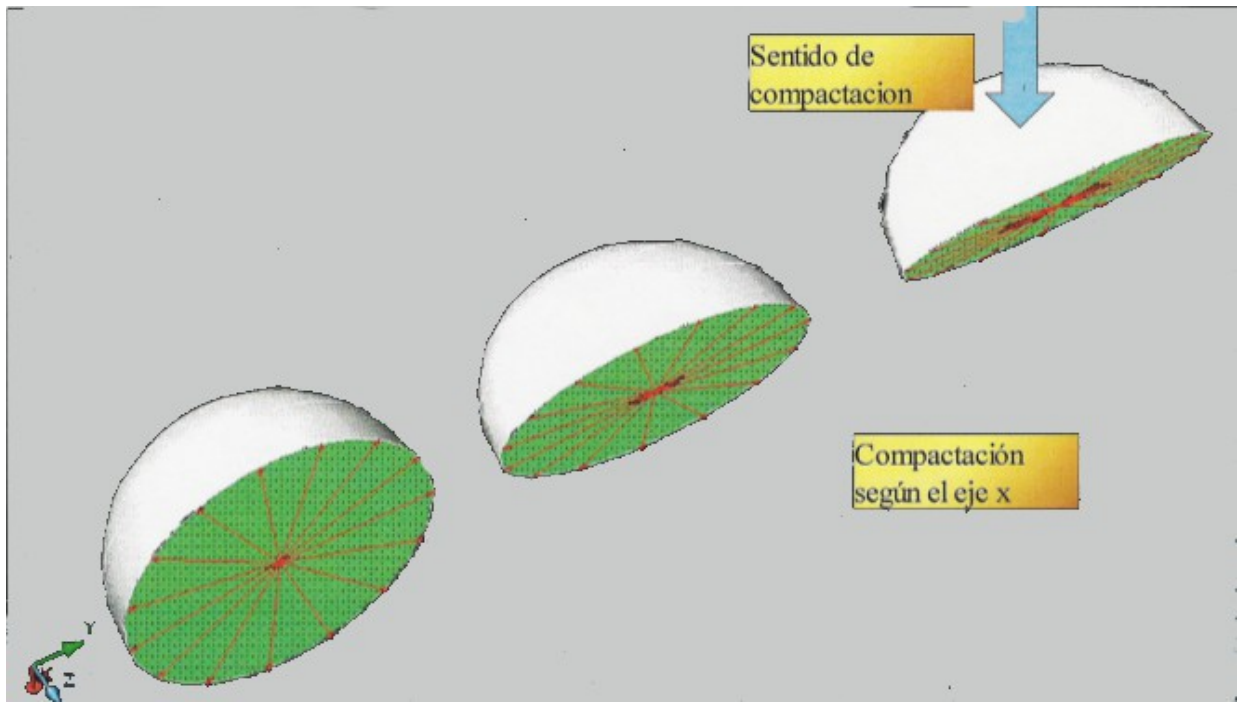
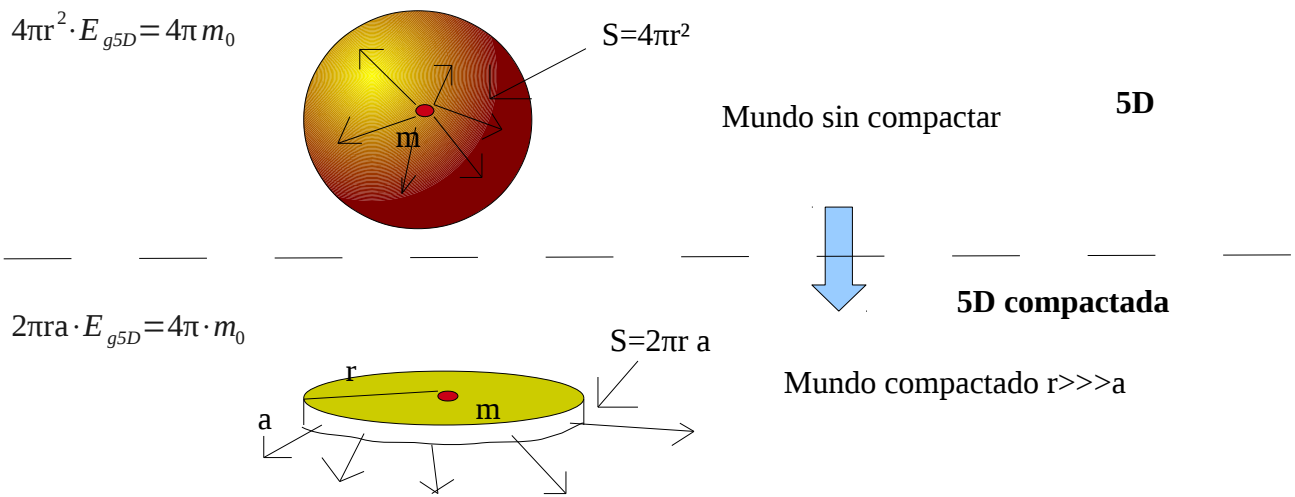


Fig 7. Efecto sobre la ley de Gauss al compactar linealmente una dimensión espacial.



Los científicos de este mundo plano de 4D medirían un campo E_g y le intentarían aplicar la ley de Gauss obteniendo el siguiente resultado:

$$2\pi r \cdot E_{g4D} = 4\pi \cdot m_0 \quad \mathbf{4D}$$

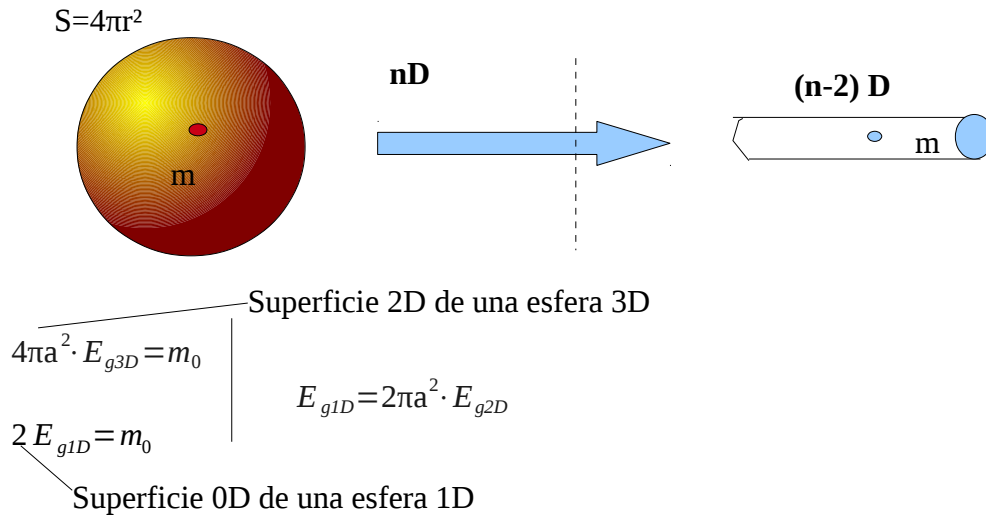
Igualando las 2 ecuaciones tendremos:

$$2\pi r \cdot E_{g4D} = 2\pi r a \cdot E_{g5D} \quad \text{luego} \quad E_{g4D} = a \cdot E_{g5D}$$

Como E_{g4D} tiene que ser igual a E_{g5D} habría que añadir una constante para que la formula en 4D proporcionase un resultado correcto:

$$2\pi r \cdot E_{g4D} = 4\pi a \cdot m_0 \quad , \text{ es decir aparece una constante de gravitación } G = a.$$

Como a es muy pequeño el campo medido al compactar una dimensión es mucho menor. En el caso de dos dimensiones que se compactan en un círculo de radio “ a ” tendríamos:



Es decir al compactar circularmente una dimensión el campo quedaría alterado en un factor igual a $2\pi a^2$, lo que nos permitiría estimar el radio de las dimensiones compactadas de la relación:

$$G \approx 2\pi \cdot R_u^2 \rightarrow R_u \approx \sqrt{\frac{G}{2\pi}} \simeq 3 \cdot 10^{-6} m$$

Resulta evidente que dado que se ha utilizado la aproximación para espacio plano del campo gravitatorio la estimación del radio de las dimensiones compactadas no puede ser muy exacta, pero permitiría conocer el orden de magnitud de éstas.

Por otro lado, los fenómenos que suceden a escalas inferiores siguen la ley de la inversa del cubo, por lo que aparentan tener mayor intensidad. En definitiva, la curvatura actuaría como una lente convergente, disminuyendo la intensidad de los fenómenos lejanos e incrementando la intensidad aparente de los que suceden a escalas muy pequeñas, lo que al menos de manera cualitativa podría justificar la diferencia de escalas entre las 4 fuerzas fundamentales de la Naturaleza.

Si tenemos en cuenta que según los postulados de este trabajo las dimensiones de la masa son los de la inversa de una longitud nos quedaría $[G] = L^3 M^{-1} T^{-2} = L^4 T^{-2}$ e interpretando el tiempo como una longitud: $[G] = L^2$.

En consecuencia la curvatura del espacio-tiempo hexadimensional justifica la relación entre la masa inercial y la masa gravitatoria cuando hablamos de fenómenos que suceden a escalas muy superiores al tamaño de las dimensiones espaciales compactadas. Por tanto la mayor parte de las constantes deberían desaparecer cuando efectuamos los cálculos en 6D. ($\hat{\mu}_{0g} = 1, \hat{G} = 1, \dots$).

4. Origen del campo eléctrico.

4.1 Sobre el gravitomagnetismo.

Si escribimos las ecuaciones del gravitomagnetismo comparándolas con las ecuaciones de Maxwell.

GRAVITOMAGNETISMO	ELECTROMAGNETISMO
$\vec{\nabla} \cdot \vec{E}_g = -4\pi G \rho$	$\vec{\nabla} \cdot \vec{E} = \frac{\rho}{\epsilon_0}$
$\vec{\nabla} \cdot \vec{B}_g = 0$	$\vec{\nabla} \cdot \vec{B} = 0$
$\vec{\nabla} \times \vec{E}_g = -\frac{1}{c} \frac{\partial \vec{B}_g}{\partial t}$	$\vec{\nabla} \times \vec{E} = -\frac{\partial \vec{B}}{\partial t}$
$\vec{\nabla} \times \vec{B}_g = \frac{-4\pi G}{c} \cdot \vec{j}_m + \frac{1}{c} \frac{\partial \vec{E}_g}{\partial t}$	$\vec{\nabla} \times \vec{B} = \mu_0 \cdot \vec{j} + \mu_0 \epsilon_0 \frac{\partial \vec{E}}{\partial t}$

A pesar de las evidentes similitudes las ecuaciones del gravitomagnetismo se diferencian en dos signos de las ecuaciones de Maxwell, el primero indica que solo pueden existir fuerzas atractivas entre las masas, la segunda indica que **dos corrientes de masa que circulan en el mismo sentido se repelen** al contrario de lo que sucede en el electromagnetismo en el que se atraen.

4.2 Campo gravitomagnetico producido por las partículas elementales.

Las partículas elementales girando en trayectorias muy pequeñas a la velocidad de la luz deben producir un campo de inducción B_g considerable provocando un campo de fuerzas que cualitativamente es similar al campo eléctrico, tal como se muestra en la figura n° 8.

Distinto sentido → Atracción	Mismo sentido → Repulsión

Fig 8. Ejemplo en 3 dimensiones de como un movimiento circular de una masa puede provocar la ilusión de la existencia de una carga eléctrica.

Como habíamos visto en el capítulo anterior las leyes del gravitomagnetismo expresados en seis dimensiones no deben necesitar de ninguna constante, o, lo que es lo mismo la constante gravitatoria en 6D debe ser $\hat{G}=1$.

Para calcular el campo de inducción generado por las partículas elementales se puede asimilar al campo generado por una espira circular.

$$B = \frac{\mu_0 i}{2R}$$

ELECTROMAGNETISMO 5D $B = B(L_x, L_y, L_z, M, T)$ *

$$B_g = \frac{-4\pi \hat{G}}{c} \cdot \frac{i_g}{2R^2}$$

GRAVITOMAGNETISMO 6D $B = B(L_x, L_y, L_z, \xi, \eta, T)$

* Nota: Si consideramos la masa como la inversa de una longitud cualquier ecuación que contenga la dimensión masa (ó carga eléctrica, ya que la relación carga/masa es constante para cada tipo de partículas elementales) se debe considerar como una ecuación en 5 dimensiones, 4 espaciales más una temporal.

Si el campo eléctrico es la expresión en 5D del campo gravitomagnético en 6D entonces $B=B_g$

$$\frac{B}{B_g} = \frac{\mu_0 2cR^2}{-4\pi \hat{G} \cdot 2R} \cdot \frac{i}{i_g} = 1$$

la relación entre la intensidad eléctrica y la intensidad gravitatoria es la misma que la relación entre la carga y la masa de una partícula elemental. Por tanto se puede escribir:

$$\frac{\mu_0 cR}{-4\pi \hat{G}} \cdot \frac{q}{m_0} = 1$$

Teniendo en cuenta que hemos postulado que $\hat{G}=1$ y que $R=\xi_e=\frac{\hbar}{2 m_e c}=1,93079616 \cdot 10^{-13}$

$$\frac{\mu_0 c \xi_e}{-4\pi} \cdot \frac{q_e}{m_e} = 1$$

$$\frac{q_e}{m_e} = 1,72759870 \cdot 10^{11} \text{ en unidades del S.I.}$$

Si comprobamos la relación experimental carga-masa del electrón tendremos:

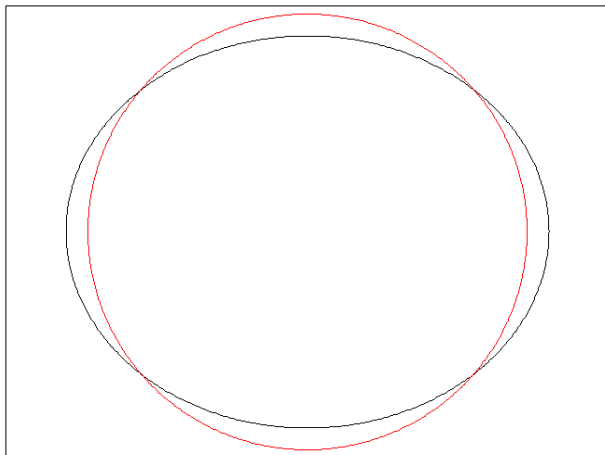
$$\frac{q}{m_0} = \frac{e}{m_{e0}} = \frac{1,602176 \cdot 10^{-19}}{9,10938291 \cdot 10^{-31}} = 1,75881946 \cdot 10^{11}$$

que difiere en un 1,8% del valor estimado.

Por tanto, al considerar la masa como la inversa de una longitud es posible salvar la principal dificultad que presentaba la teoría de Kaluza-Klein.

Es de observar que simplemente considerando un valor de $\hat{G} = 1,01807176$ se puede obtener un valor de la relación carga-masa del electrón correcta.

4.3 Topología elíptica de las dimensiones compactadas.



La forma más sencilla de incrementar la inducción magnética manteniendo el perímetro recorrido consiste en deformar la trayectoria circular a una elipse. En efecto, si observamos la expresión que permite calcular la inducción magnética en el centro de una espira de corriente elíptica tendremos:

$$B_z = \mu_0 I \frac{l}{4S}$$

donde l = perímetro, S = superficie, I = Intensidad eléctrica.

Para estimar la longitud se ha utilizado la siguiente fórmula aproximada:

$$L \approx \pi \left(3(a+b) - \sqrt{(3a+b)(a+3b)} \right)$$

Si elegimos una espira circular de radio unidad y la deformamos manteniendo el perímetro constante basta con elegir una espira de semiejes $a=1,10576$ y $b=0,8883$ para incrementar la relación longitud-superficie y por tanto el campo de inducción magnética B por un factor de 1,018068, lo que proporcionaría el valor correcto de relación masa-carga para el electrón.

Se ha estimado la longitud de la elipse obtenida anteriormente mediante la relación:

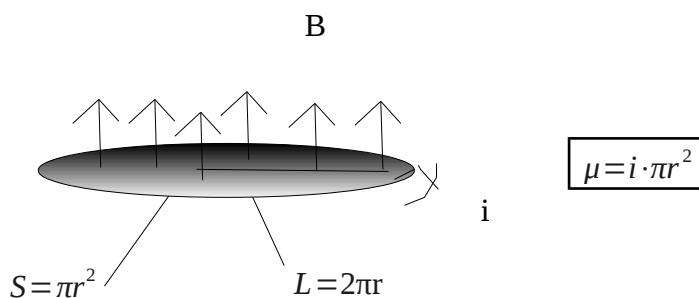
$$L = 4a \int_0^{\pi/2} \sqrt{1 - e^2 \sin^2 \theta} d\theta$$

donde e representa la excentricidad de la la elipse. Se ha encontrado que el error cometido al utilizar la formula aproximada es de $3,42 \cdot 10^{-6}$ por uno.

No obstante es posible seguir utilizando la hipótesis circular en muchos casos simplemente manteniendo la constante $\hat{G} = 1,01807176$, que ahora se considera un factor de forma.

4.4 Ejemplo de aplicación. Momento magnético intrínseco del electrón.

Veamos como se pueden convertir las formulas electromagnéticas 5D a gravitomagneticas 6D.



La expresión del momento gravitomagnético debería ser análogamente el producto de la intensidad másica por la superficie abrazada por la espira. Sin embargo como las distancias involucradas son inferiores a G debemos utilizar formulas referidas a 6 dimensiones.

Para convertir la formula a 6D partimos de la definición de momento magnético.

$$\mu = \frac{1}{2} \int r \times idl$$

Los pasos a seguir son los siguientes:

1. Eliminar constantes(salvo aquellas que provengan de las leyes de Maxwell).

$$\mu = \int r \times idl$$

2. Dividir por r para pasar de 5D a 6D.

$$\mu = \frac{1}{r} \int r \times idl = i \int dl = i \cdot 2\pi R$$

3. Utilizar la intensidad másica en vez de la intensidad eléctrica.

$$\mu = i_m \cdot 2\pi R$$

4. Eliminar la constante electromagnética y sustituirla por la gravitomagnética, es decir, multiplicar

por el factor $\frac{-4\pi \hat{G}/c}{\mu_0}$.

$$\mu_g = \frac{-4\pi \hat{G}/c}{\mu_0} \cdot i_m \cdot 2\pi R$$

El flujo másico será $i_m = m_0 \cdot v$ donde $v = \frac{n^\circ \text{ vueltas}}{\text{segundo}} = \frac{c}{2\pi R}$ ya que habíamos postulado que el electrón viaja a la velocidad de la luz en las dimensiones compactadas.

Luego

$$\mu_g = \frac{-4\pi \hat{G}}{\mu_0 c} \cdot \frac{m_0 c}{2\pi R} \cdot 2\pi R = \frac{-4\pi \hat{G} m_0}{\mu_0}$$

sustituyendo para el caso del electrón y como $\hat{G} = 1,01807176$ tendremos

$$\mu_g = \frac{-4\pi \cdot 9,109 \cdot 10^{-31} \cdot 1,01807176}{4\pi \cdot 10^{-7}} = -9,2740055 \cdot 10^{-24} \text{ en unidades del SI.}$$

La estimación produce un valor muy similar al magnetón de Bohr , que es de $9,274 \cdot 10^{-24}$ en el mismo sistema de unidades.

Nota: La formula anterior puede también obtenerse fácilmente a partir de la expresión tradicional del momento magnético a partir del espín $\mu = \frac{q}{2m} = \frac{q}{2m} S = \frac{q}{2m} \frac{\hbar}{2}$ y sustituyendo $\frac{q}{m} = \frac{-4\pi \hat{G}}{\mu_0 c} \cdot \frac{2mc}{\hbar}$

5. Los electrones como pulsaciones gravitomagnéticas.

5.1 Ecuación de ondas gravitomagnéticas.

La ecuaciones del gravitomagnetismo son:

$$\vec{\nabla} \cdot \vec{E}_g = -4\pi G\rho$$

$$\vec{\nabla} \cdot \vec{B}_g = 0$$

$$\vec{\nabla} \times \vec{E}_g = -\frac{1}{c} \frac{\partial \vec{B}_g}{\partial t}$$

$$\nabla \times B_g = \frac{-4\pi G}{c} \cdot \vec{j}_m + \frac{1}{c} \frac{\partial \vec{E}_g}{\partial t}$$

Si tenemos en cuenta que hemos postulado que $\hat{\mu}_{0g}$ tiene que ser igual a la unidad para 6D y por tanto $B=H$ podemos plantear las ecuaciones del gravitomagnetismo en ausencia de masas.

$$\vec{\nabla} \cdot \vec{E}_g = 0(a)$$

$$\vec{\nabla} \cdot \vec{H}_g = 0(b)$$

$$\vec{\nabla} \times \vec{E}_g = -\frac{1}{c} \frac{\partial \vec{H}_g}{\partial t}(c)$$

$$\nabla \times H_g = \frac{1}{c} \frac{\partial \vec{E}_g}{\partial t}(d)$$

Operando en (c) tenemos $\vec{\nabla} \times (\vec{\nabla} \times \vec{E}_g) = \vec{\nabla} \times \left(-\frac{1}{c} \frac{\partial \vec{H}_g}{\partial t} \right)$

por tanto $\vec{\nabla} \times \vec{\nabla} \times \vec{E}_g = -\frac{1}{c} \frac{\partial (\nabla \vec{H}_g \times H_g)}{\partial t}$

y sustituyendo $\nabla \times H_g = \frac{1}{c} \frac{\partial \vec{E}_g}{\partial t}$ y $\vec{\nabla} \times \vec{\nabla} \times \vec{E}_g = \vec{\nabla}^2 \vec{E}_g$

nos queda $\boxed{\vec{\nabla}^2 \vec{E}_g = -\frac{1}{c^2} \frac{\partial \nabla^2 \vec{E}_g}{\partial t^2}}$

La velocidad de fase viene dada por $v_p = \frac{\omega}{k}$ lo que significa que $v_p = \frac{1}{\sqrt{\frac{1}{c^2}}} = c$ y por tanto:

$$\vec{\nabla}^2 \vec{E}_g + \frac{1}{v_p^2} \frac{\partial \vec{E}_g}{\partial t^2} = 0$$

Análogamente podemos obtener:

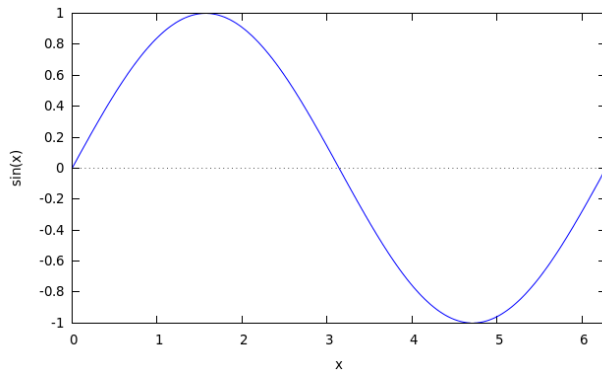
$$\vec{\nabla}^2 \vec{H}_g + \frac{1}{v_p^2} \frac{\partial \vec{H}_g}{\partial t^2} = 0$$

Si suponemos que el campo tiene dependencia armónica con el tiempo de la forma

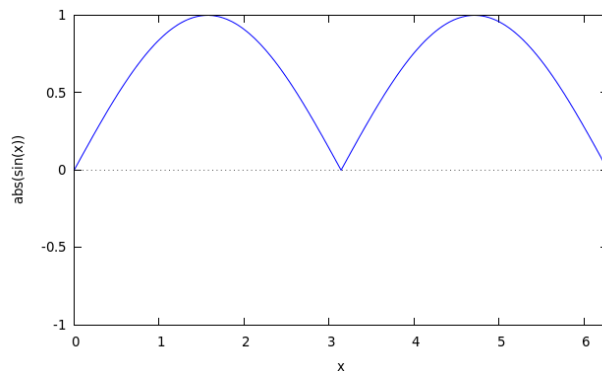
$$\vec{\Psi} = |\vec{\Psi}_0 e^{-i\omega t}| \text{ se llega a la conclusión:}$$

$$\vec{\nabla}^2 \vec{E}_g + \frac{\omega^2}{v_p^2} \vec{E}_g = 0 \text{ si llamamos número de onda } k \text{ al cociente } \frac{\omega}{v_p} \text{ nos quedaría:}$$

$$\vec{\nabla}^2 \vec{E}_g + k^2 \vec{E}_g = 0 \text{ totalmente análoga a las ecuaciones de Helmholtz. y las soluciones serían del tipo.}$$



Sin embargo las ondas gravitomagnéticas son diferentes, ya que el campo gravitatorio no puede ser negativo.



En la figura podemos observar una onda gravitomagnética equivalente a la electromagnética superior.

Es de observar que para la misma frecuencia la onda gravitomagnética presenta una longitud de onda que es la mitad de la electromagnética equivalente, por tanto el número de onda k debería definirse como:

$$k = \frac{\pi}{\lambda}$$

Fig 9. Onda gravitomagnética vs Onda electromagnética

5.2 Ecuación escalar de onda gravitomagnética en 6D. Solución para una partícula-pulsación libre.

Debido a la topología del espacio las ondas gravitomagnéticas no pueden desplazarse libremente, sino que deben ajustarse a unas condiciones de frontera muy estrictas. El fenómeno físico más parecido se encuentra en la transmisión de las ondas electromagnéticas a través de ondas guía circulares o elípticas, aunque en este caso el confinamiento se debe a la curvatura del espacio y no a unas paredes metálicas.

Se va a utilizar un sistema de coordenadas cilíndrico elíptico en 5D espaciales:

Dimensiones espaciales expandidas: Coordenadas cartesianas x, y, z .

Dimensiones espaciales compactadas: Coordenadas elípticas, las curvas con $\xi = \text{cte}$ representan elipses confocales, mientras que las curvas $\eta = \text{cte}$ representan hipérbolas perpendiculares a las elipses anteriores. En el caso límite en que la distancia focal f se anula, es decir $f=0$, se reducen a coordenadas circulares, donde $\text{radio}(\xi)$, $\text{angulo}(\eta)$

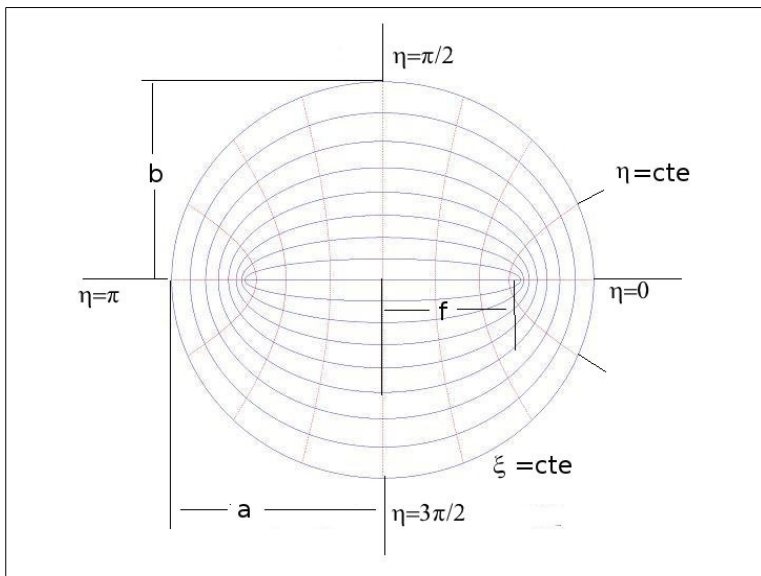


Fig 10. Coordenadas elípticas.

La relación entre coordenadas cartesianas y elípticas es la siguiente:

$$x = f \cosh \xi \cos \eta, \quad y = f \sinh \xi \sin \eta$$

La ecuación de onda hexadimensional sería:

$$(\nabla_{6D}^2 + k^2) \cdot H = 0$$

Se va a resolver la ecuación para dos casos, primeramente suponiendo una topología circular y posteriormente generalizándola a una topología elíptica:

5.2.1 Topología circular de las dimensiones compactadas.

Aplicando el laplaciano en cilíndricas tenemos:

$$\left(\frac{\partial^2}{\partial^2 \xi} + \frac{1}{\xi} \cdot \frac{\partial}{\partial \xi} + \frac{1}{\xi^2} \cdot \frac{\partial}{\partial \eta^2} + \frac{\partial^2}{\partial^2 x} + \frac{\partial^2}{\partial^2 y} + \frac{\partial^2}{\partial^2 z} + k^2 \right) \cdot H = 0$$

Se puede solucionar mediante separación de variables

$$H(\xi, \eta, x, y, z) = G(\xi) \cdot N(\eta) \cdot F(x, y, z)$$

Sustituyendo:

$$G'' NF + \frac{1}{\xi} \cdot G' NF + \frac{1}{\xi^2} GN'' F + GN \cdot \nabla_{3D}^2 F + k^2 GNF = 0$$

Dividiendo por GNF

$$\frac{G''}{G} + \frac{1}{\xi} \cdot \frac{G'}{G} + \frac{1}{\xi^2} \cdot \frac{N''}{N} + \frac{\nabla_{3D}^2 F}{F} + k^2 = 0$$

Y como es habitual en los cálculos de ondas guía podemos descomponer el número de onda en 2:

$k^2 = \beta^2 + k_c^2$ donde β se denomina “constante de propagación” y k_c es el “número de ondas de corte” y representa la frecuencia mínima para que una onda pueda propagarse por la guía.

De tal forma que podemos obtener 2 ecuaciones:

$$\left. \begin{array}{l} \frac{G''}{G} + \frac{1}{\xi} \cdot \frac{G'}{G} + \frac{1}{\xi^2} \cdot \frac{N''}{N} + k_c^2 = 0 \quad (1) \\ \frac{\nabla_{3D}^2 F}{F} + \beta^2 = 0 \quad (2) \end{array} \right\}$$

Si multiplicamos (1) por ξ^2 :

$$\xi^2 \cdot \frac{G''}{G} + \xi \cdot \frac{G'}{G} + \frac{N''}{N} + \xi^2 \cdot k_c^2 = 0 \quad (3)$$

Que podemos descomponer en 2 ecuaciones que dependen de una única variable, y además como los términos de la ecuación suman una constante entonces cada término debe ser constante:

$$\frac{N''}{N} = -m_s^2 \rightarrow \boxed{N'' + m_s^2 N = 0} \quad (3a)$$

Cuya solución es: $N(\eta) = A_0 \cdot \text{sen}(m_s \cdot \eta) + B_0 \cdot \text{cos}(m_s \cdot \eta)$

sustituimos $\frac{N''}{N} = -m_s^2$ en (3) y obtenemos:

$$\xi^2 \cdot \frac{G''}{G} + \xi \cdot \frac{G'}{G} - m_s^2 + \xi^2 \cdot k_c^2 = 0 \rightarrow$$

$$\xi^2 \cdot G'' + \xi \cdot G' + (\xi^2 \cdot k_c^2 - m_s^2) \cdot G = 0 \quad (4) \text{ conocida como la ecuación diferencial de Bessel}$$

Examinemos m_s :

Lógicamente $H(\xi, \eta, x, y, z) = H(\xi, \eta + \pi l, x, y, z)$ donde $l = \text{entero}$

Esto solo puede ser cierto si m_s es **semientero**.

Recordemos que:

$N(\eta) = A_0 \cdot \text{sen}(m_s \cdot \eta) + B_0 \cdot \text{cos}(m_s \cdot \eta)$ se puede escribir como:

$$N(\eta) = C_0 \cdot \text{sen}[m_s \cdot (\eta - \eta_0)]$$

Si suponemos que los electrones son ondas gravitatorias para el caso de un electrón en reposo tendríamos que la constante de propagación $\beta=0$, en ese caso:

$$k^2 = 0^2 + k_c^2 = k_c^2$$

Si asociamos esta frecuencia de corte a la vibración que presentan todos los electrones entonces tendríamos:

$k = \frac{\pi}{\lambda}$ donde la longitud de onda debe ser igual al perímetro del movimiento circular de los electrones, es decir: $\lambda = \frac{h}{2m_0 c}$ lo que conlleva que:

$$k = k_c = \frac{\pi}{\lambda} = \frac{2\pi m_0 c}{h} = \frac{m_0 c}{\hbar} \text{ y por tanto el número de ondas circular debe ser:}$$

$$k_c = \frac{m_0 c}{\hbar} \text{ Luego podemos escribir (4) como } \xi^2 \cdot G'' + \xi \cdot G' + \left(\xi^2 \cdot \left(\frac{m_0 c}{\hbar} \right)^2 - m_s^2 \right) \cdot G = 0 \quad (5)$$

Como ya habíamos comentado se trata de la conocida ecuación de Bessel, cuyas soluciones son:

- $J_\alpha \rightarrow$ Función de Bessel de primera especie.

– $Y_\alpha \rightarrow$ Función de Bessel de segunda especie.

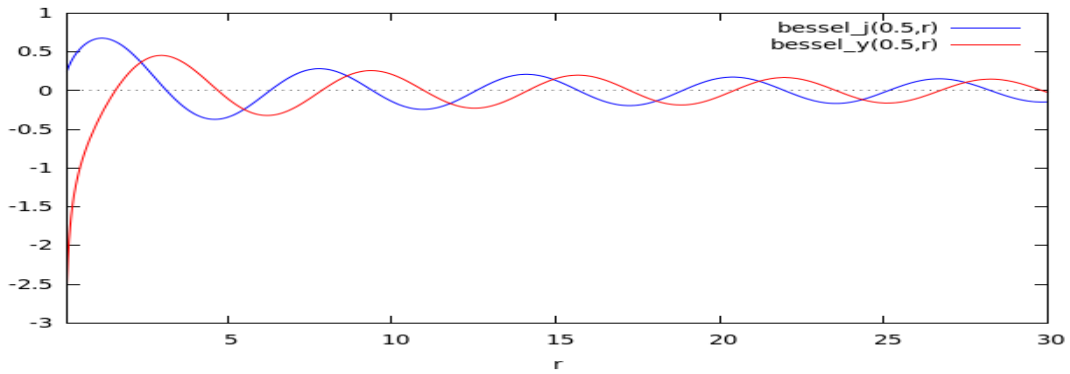


Fig 11. Funciones de Bessel.

Como puede observarse ambas son funciones periódicas, por tanto no validas, ya que si no las ondas saldrían del universo.

Las funciones de Hankel tampoco son validas por ser combinaciones lineales de J_α e Y_α

Sin embargo si consideramos k_c imaginario tendríamos:

$$\boxed{k_c = \frac{m_0 c}{\hbar} i} \rightarrow \boxed{\xi^2 G'' + \xi G' - \left(\xi^2 \left(\frac{m_0 c}{\hbar} \right)^2 + m_s^2 \right) G = 0} \quad (6) \text{ o Ecuación modificada de Bessel}$$

cuya solución general es:

$$G = C_2 I_{m_s} \left(\frac{2 m_0 c}{\hbar} \cdot \xi \right) + C_3 K_{m_s} \left(\frac{2 m_0 c}{\hbar} \cdot \xi \right) \quad (7)$$

donde I_{m_s} y K_{m_s} representan las funciones modificadas de Bessel de primera y segunda especie respectivamente de orden m_s . Nótese el factor de escala 2 que corrige la diferente definición de n° de onda. Si las representamos veremos que:

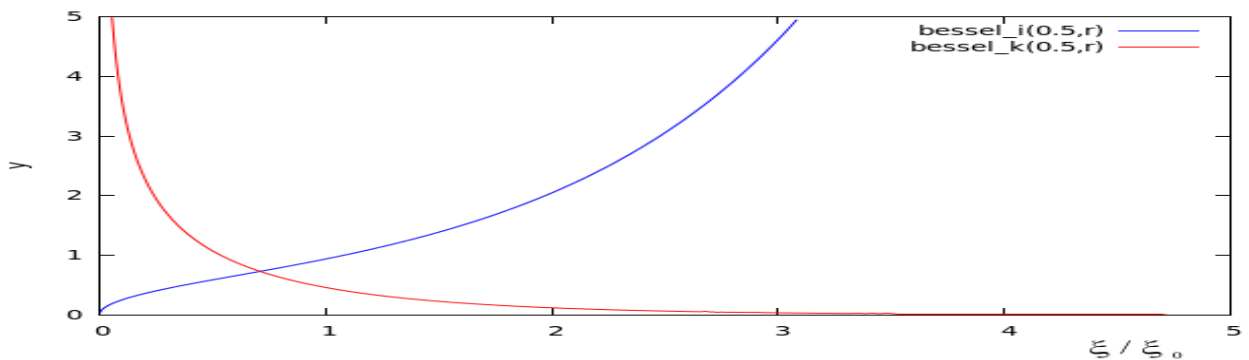


Fig 12 Funciones modificadas de Besel.

Es decir, ninguna de las funciones por separado puede cumplir con las condiciones de contorno, sin embargo si nos damos cuenta que en realidad r_u representa un horizonte de sucesos es fácil ver que la solución sería:

$$\left. \begin{aligned} \text{Si } \xi \leq \xi_0 \rightarrow G &= C_2 I_{m_s} \left(\frac{2 m_0 c}{\hbar} \cdot \xi \right) \\ \text{Si } \xi \geq \xi_0 \rightarrow G &= C_3 K_{m_s} \left(\frac{2 m_0 c}{\hbar} \cdot \xi \right) \end{aligned} \right\}$$

Las condiciones de contorno exigen que las 2 soluciones coincidan para

$$\boxed{\xi_0 = \frac{\hbar}{2m_0c}} \text{ y por tanto } \boxed{\frac{2m_0c}{\hbar} \xi_0 = \frac{2m_0c}{\hbar} \cdot \frac{\hbar}{2m_0c} = 1}$$

Luego si consideramos que el electrón representa la onda más sencilla posible $m_s = \pm 1/2$ tendríamos que debe cumplirse:

$$C_2 \cdot I_{\frac{1}{2}}(1) = C_3 \cdot K_{\frac{1}{2}}(1) \text{ , lo que obliga a que: } C_2 = 0,4916 C_3$$

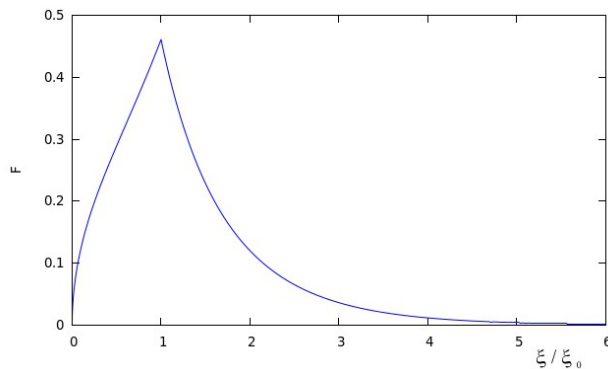


Fig 13 Solución en función de ξ/ξ_0

Podemos por tanto representar la solución hallada $G(\xi)N(\eta)$ para las dimensiones compactadas:

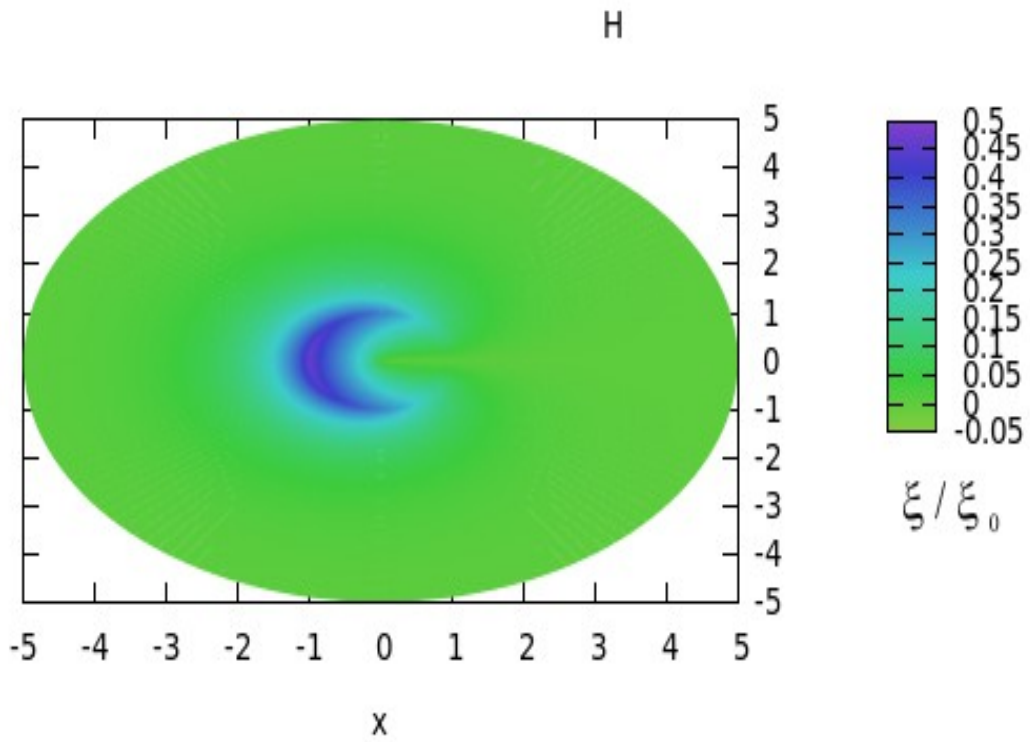


Fig 14. Solución para el plano de las dimensiones compactadas.

Lo que representa una onda estacionaria. El flujo de energía en una onda se expresa mediante el cuadrado de la función de onda $\langle \Psi \rangle^2$, en nuestro caso Ψ puede ser E_g ó H_g .

Si representamos $\langle E_g \rangle^2$ en función de ξ / ξ_0 tenemos:

$$\text{Si } \xi \leq \xi_0 \rightarrow G = 0,4916 I_{\frac{1}{2}} \left(\frac{2 m_0 c}{\hbar} \cdot \xi \right)$$

$$\text{Si } \xi > \xi_0 \rightarrow G = K_{\frac{1}{2}} \left(\frac{2 m_0 c}{\hbar} \cdot \xi \right)$$

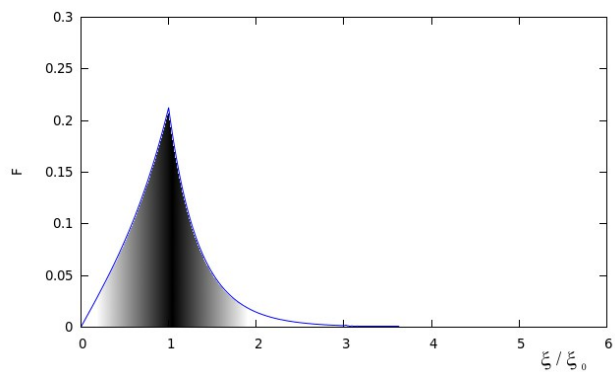


Fig 15 Flujo de energía frente a ξ / ξ_0

Si representamos la función $(GN)^2$ en el plano de las dimensiones compactadas tendremos:

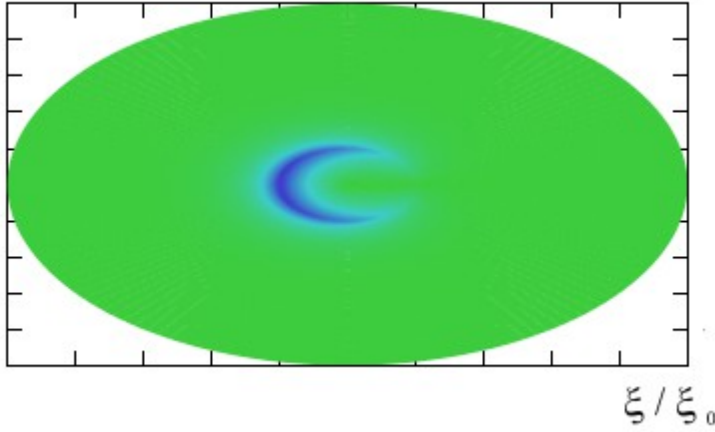


Fig 16. $G(\xi)^2 N(\eta)^2$ Flujo de energía en el plano de las dimensiones compactadas.

Podemos calcular el centro de masas de la función $\langle E_g \rangle^2$

$$\xi_{cdm} = \frac{\int \xi E^2 d\xi}{\int E^2 d\xi} \quad \text{Si nos fijamos en el gráfico podemos ver que:}$$

$$\int E^2 d\xi = \int_0^1 (0,4916 I_{0,5}(\xi))^2 d\xi + \int_1^\infty (K_{0,5}(\xi))^2 d\xi$$

$$\int \xi E^2 d\xi = \int_0^1 (0,4916 \xi I_{0,5}(\xi))^2 d\xi + \int_1^\infty (\xi K_{0,5}(\xi))^2 d\xi$$

Las integrales se han resuelto numéricamente mediante el método de Romberg utilizando como límites de integración $[0,1]$ U $[1,20]$

$$\xi_{cdm} = \frac{\int \xi E^2 d\xi}{\int E^2 d\xi} = 1,006495 \quad , \text{ es decir, la topología circular no permite soluciones de este tipo, ya que}$$

el flujo de energía no se encuentra concentrado en la coordenada $\xi = \frac{\hbar}{2m_0 c}$.

La topología circular es una buena aproximación para calcular el momento angular del electrón atribuible a su giro en las dimensiones compactadas:

$$L = m \times r \cdot v = m_e \xi c = m_e \frac{\hbar}{2m_e c} \cdot c = \frac{\hbar}{2}$$

En base al resultado anterior es prácticamente inevitable asignar la propiedad cuántica de espín a la onda estacionaria de los electrones en las dimensiones compactadas, identificándolo con la constante m_s , el signo de esta constante representa la diferencia de fase y el diferente sentido de giro explicaría la diferencia entre electrones y positrones.

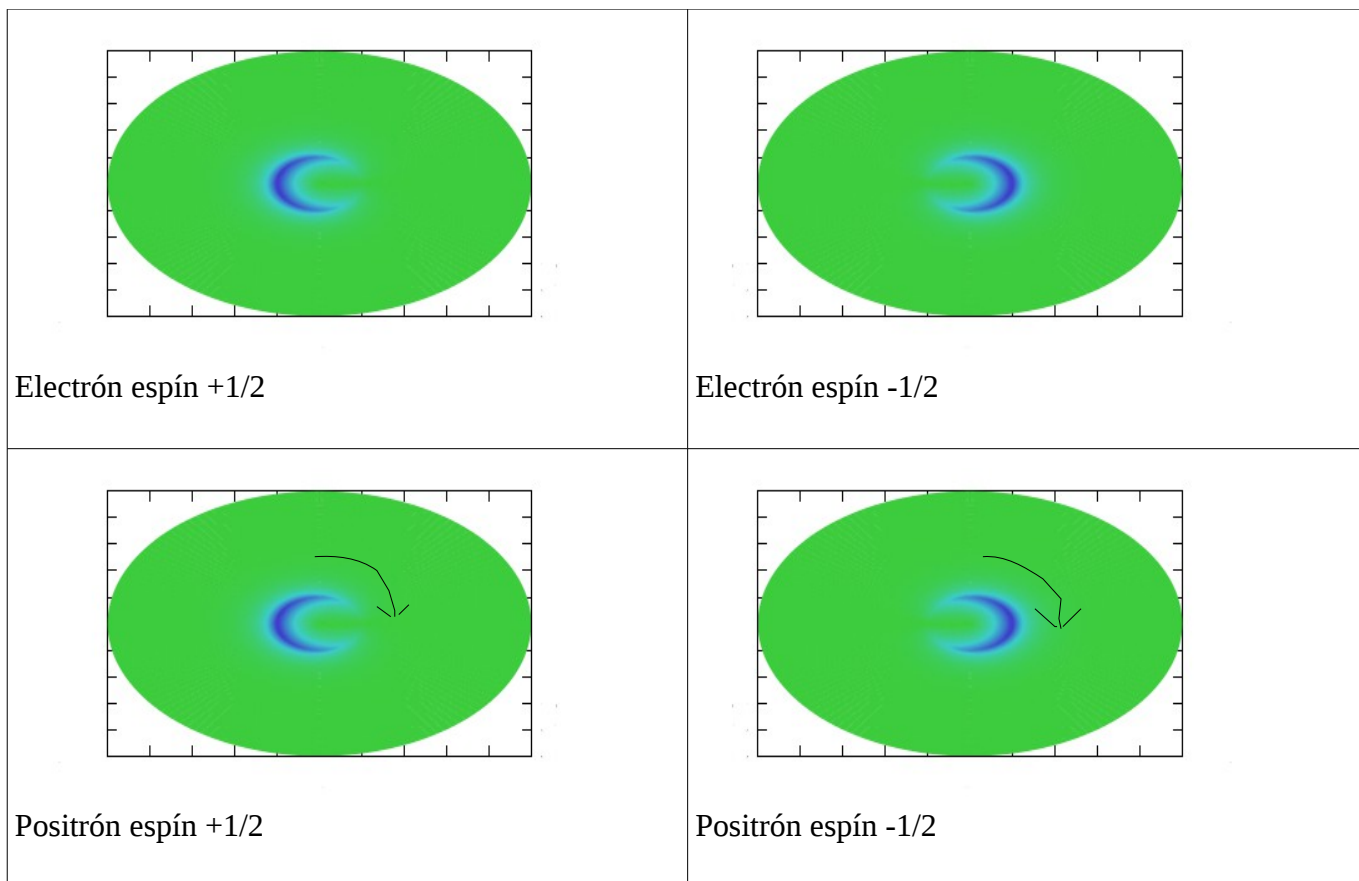


Fig 17. Representación intuitiva del espín del electrón.

Es fácil ver que se puede extrapolar el resultado para estimar el momento angular de giro a partículas con diferente espín, resultando:

$$L_s = m_s \cdot \hbar$$

5.2.2 Topología elíptica de las dimensiones compactadas.

Teniendo en cuenta análogas consideraciones que en el caso anterior el laplaciano también es separable, quedando:

$$H(\xi, \eta, x, y, z) = D(\xi, \eta) \cdot F(x, y, z)$$

$$\left. \begin{array}{l} \boxed{\frac{\nabla_{\xi, \eta}^2 D(\xi, \eta)}{D(\xi, \eta)} + k_c^2 = 0} \quad (3) \\ \boxed{\frac{\nabla_{3D}^2 F(x, y, z)}{F(x, y, z)} + \beta^2 = 0} \end{array} \right\}$$

En el sistema de coordenadas elípticas (3) puede reescribirse de la siguiente manera:

$$\frac{2}{f^2(\cosh(2\xi) - \cos(2\eta))} \left(\frac{\partial}{\partial \xi} + \frac{\partial}{\partial \eta} \right) D + k_c^2 \cdot D = 0$$

Y suponiendo que D puede escribirse como $D(\xi, \eta) = G(\xi) \cdot N(\eta)$ nos quedaría:

$$\frac{1}{G} \frac{\partial^2 G}{\partial \xi^2} + \frac{k_c^2}{2} f^2 \cosh(2\xi) = \frac{-1}{N} \frac{\partial^2 N}{\partial \eta^2} + \frac{k_c^2}{2} f^2 \cos(2\eta)$$

que puede ser separada mediante una constante que llamaremos a (No confundir con el semieje mayor de la elipse)

$$\left. \begin{array}{l} G'' - (a - 2q \cosh 2\xi)G = 0 \\ N'' - (a - 2q \cos 2\eta)N = 0 \end{array} \right\}$$

donde se ha definido:

$$q = \frac{k_c^2 f^2}{4} \text{ y la constante de separación } a \text{ solo depende del parámetro } a, \text{ es decir } a = a(q).$$

Es notable observar que para el caso límite en que $q=0$ todas las soluciones se reducen a las ya conocidas como funciones de Bessel.

La segunda ecuación representa la dependencia “angular” de la ecuación anterior y es conocida como ecuación de Mathieu, mientras que la primera ecuación representa la dependencia “radial” y es conocida como ecuación modificada de Mathieu.

Ya que se ha postulado en el apartado anterior que $k_c = \frac{m_0 c}{\hbar} i$ es imaginario tendremos que $q < 0$.

Para el caso del electrón se va a estimar el valor del parámetro q .

$$k_c = \frac{m_0 c}{\hbar} i = \frac{9,10938291 \cdot 10^{-31} \cdot 299792458}{1,054571628 \cdot 10^{-34}} i = 2,58960532 \cdot 10^{12} i$$

como el radio de las dimensiones compactadas se había estimado en:

$$r_u = \sqrt{\frac{G}{2\pi}} = 3,259 \cdot 10^{-6} m$$

y supuesta una topología elíptica de parámetros

$$a = 1,10576 \cdot r_u$$

$$b = 0,8883 \cdot r_u$$

Se puede calcular el foco de la elipse mediante la expresión:

$$f = \sqrt{a^2 - b^2} = r_u \sqrt{1,10576^2 - 0,8883^2} = 2,146 \cdot 10^{-6} m$$

y por tanto el parámetro q valdrá:

$$q = \frac{k_c^2 f^2}{4} = \frac{(2,146 \cdot 10^{-6})^2 (2,58960532 \cdot 10^{12})^2}{4} = -7,7208 \cdot 10^{12}$$

Teniendo en cuenta las mismas consideraciones que en el apartado 5.2.1 las soluciones que podemos identificar con el electrón serán:

$N(\eta) = \left| se_{\frac{1}{2}}(\eta, -7.7208 \cdot 10^{12}) \right|$ o valor absoluto de la función angular par de Mathieu de orden $\frac{1}{2}$ (también conocida como seno elíptico).

En cuanto a la ecuación modificada de Mathieu ninguna de las funciones radiales puede ser solución por si sola, así que al igual que en el caso circular la solución radial vendrá dada por:

$$\text{Si } 0 < \xi < \xi_0 \quad G(\xi) = I_{o1/2}(2k_c \xi, -7.7208 \cdot 10^{12}) = I_{o1/2}\left(\frac{\xi r}{\xi_0}, -7.7208 \cdot 10^{12}\right)$$

o función radial evanescente de Mathieu de primer tipo y orden $\frac{1}{2}$.

$$\text{Si } \xi > \xi_0 \quad G(\xi) = K_{o1/2}(2k_c \xi, -7.7208 \cdot 10^{12}) = K_{o1/2}\left(\frac{\xi r}{\xi_0}, -7.7208 \cdot 10^{12}\right)$$

o función radial evanescente de Mathieu de segundo tipo y orden $\frac{1}{2}$.

Dado que q es muy grande su valor se puede aproximar mediante la siguiente relación:

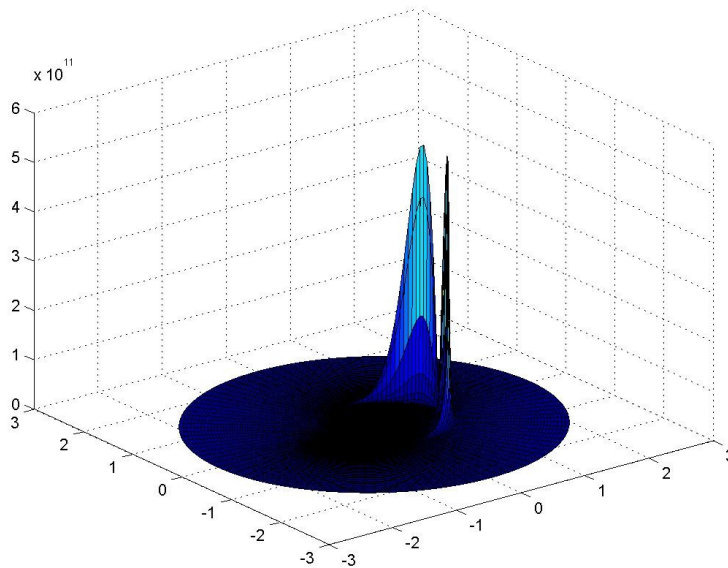
$$a_r = -2q + (2 + 4r)\sqrt{q} - \frac{1}{4} - \frac{1}{2r} - \frac{1}{2r^2} + \left(\frac{-1}{32} - \frac{3r}{32} - \frac{3r^2}{32} - \frac{r^3}{10}\right) \frac{1}{\sqrt{q}} + \dots$$

(Algebraic methods to compute Mathieu functions) donde r representa el orden de la función.

Las funciones I_0 y K_0 de orden semientero no se encuentran resueltas en la literatura, sin embargo cuando $q \rightarrow \infty$ entonces $a_{\frac{1}{2}} \rightarrow a_1$ y por tanto se puede aproximar:

$$I_{O\frac{1}{2}} \simeq I_{O1} \quad K_{O\frac{1}{2}} \simeq K_{O1}$$

Debido a dificultades para resolver las ecuaciones numéricamente cuando q es muy grande se representa la solución para $q = -300$ con el fin de tener una visión intuitiva de las posibles soluciones:



5.2.3 Solución para las dimensiones extendidas.

Seguimos solucionando el resto de variables, si recordamos (2)

$$\boxed{\frac{\nabla_{3D}^2 F}{F} + \beta^2 = 0} \text{ entonces podemos considerar 2 casos:}$$

CASO A. PARTICULA-PULSACIÓN INMOVIL. $\beta=0$

Tenemos entonces:

$$\boxed{\frac{\nabla_{3D}^2 F}{F} = 0} \text{ (8) de soluciones:}$$

$$\boxed{F = \text{constante} = C_1} \text{ (9)}$$

$$\boxed{F = \frac{C_2}{x^2 + y^2 + z^2}} \text{ (10)}$$

Es notable observar que (10) es totalmente análogo a los potenciales gravitatorio y eléctrico. Sin embargo la solución no es válida si $x=y=z=0$, ya que proporciona valores infinitos. Se propone por tanto la

siguiente forma para la solución:

$$\text{Si } r \leq \lambda_c \text{ -----} \rightarrow F = C_1$$

$$\text{Si } r > \lambda_c \text{ -----} \rightarrow F = \frac{C_2}{x^2 + y^2 + z^2} + C_3$$

donde λ_c es la longitud de onda Compton del electrón y que podemos representar de la siguiente manera:

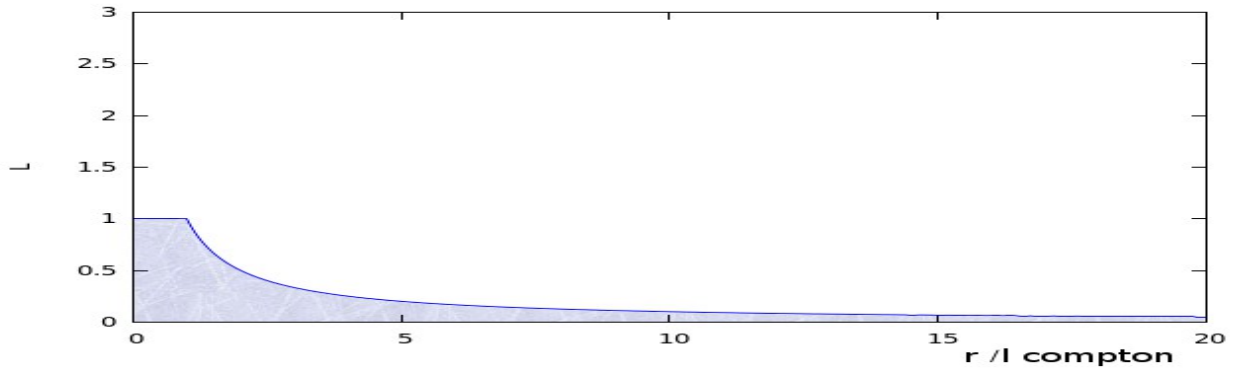


Fig 14. Solución en función de r para una partícula-pulsación inmóvil.

Es de observar que una pulsación gravitomagnética hexadimensional debido a las restricciones que impone la topología del espacio aparece como una fuente de campo gravitatorio y eléctrico en un espacio tetradimensional.

CASO B. PARTICULA-PULSACIÓN EN MOVIMIENTO UNIFORME

$$\frac{\nabla_{3D}^2 F}{F} + \beta^2 = 0$$

Si consideramos un movimiento uniforme a lo largo del eje Z se propone la siguiente solución:

$$\text{Si } \sqrt{x^2 + y^2} \leq \xi_0 \text{ -----} \rightarrow F = C_4 \text{Sen}(\beta z)$$

$$\text{Si } \sqrt{x^2 + y^2} > \xi_0 \text{ -----} \rightarrow F = C_5 \text{Sen}(\beta z) \cdot \log C_6 \sqrt{x^2 + y^2}$$

Es decir, el producto de una onda plana por un potencial bidimensional en el plano perpendicular al movimiento.

Si z representa la amplitud quedaría así.

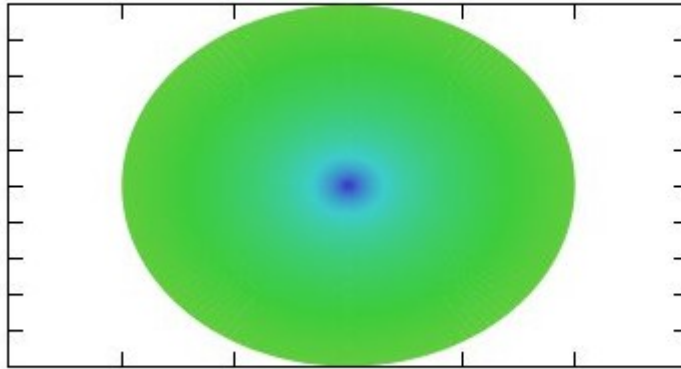
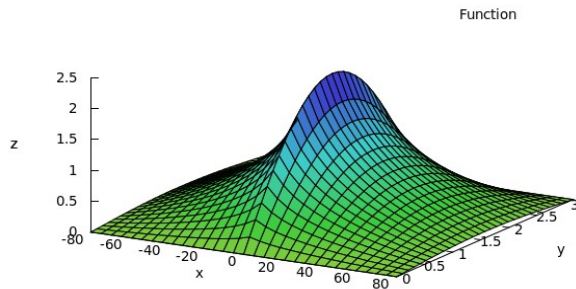


Fig 15 Solución frontal para una partícula-pulsación libre con movimiento uniforme.

Si observamos un electrón de frente nos vuelve a aparecer como una fuente de campo gravitatorio y eléctrico. Pero visto transversalmente al movimiento aparece como una onda.

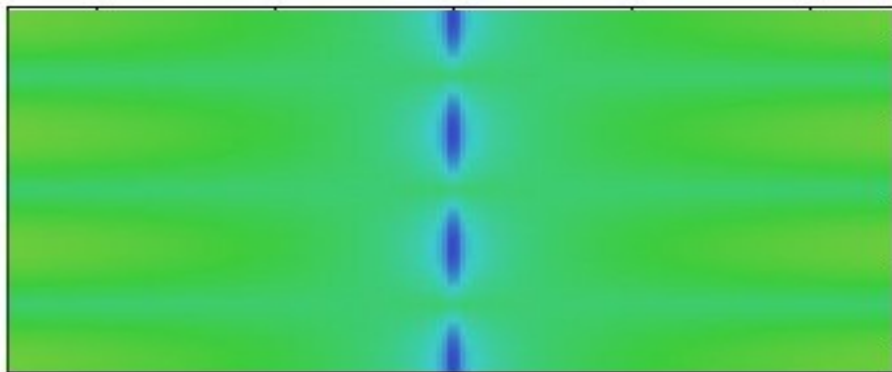
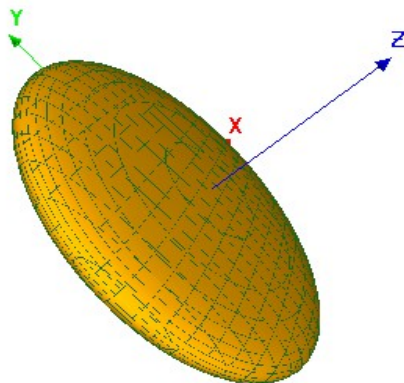


Fig 16. Solución transversal para una partícula-pulsación libre con movimiento uniforme.



La forma del electrón sería entonces:

Fig 17. Isosuperficie.

Orbital que representa un electrón libre con movimiento uniforme a lo largo del eje z . Es de observar que únicamente se trata de una isosuperficie. El electrón se extiende hasta el infinito en el plano XY , pero se encuentra comprimido por efecto del movimiento en el eje Z .

6. Discusión. Significado físico de la mecánica cuántica

6.1 Concepto de partícula. Origen de la inercia.

Es notable observar que la solución de la ecuación de onda gravitomagnética para una pulsación libre aparenta ser una partícula frontalmente, ya que aparece como una fuente de campo gravitatorio y eléctrico, pero visto transversalmente justifica plenamente su comportamiento ondulatorio. (hipótesis de D'Broglie).

De esta forma, si consideramos a los electrones como pulsaciones gravitomagnéticas podemos explicar:

- El experimento de la doble rendija, en el que cada electrón efectivamente interfiere consigo mismo.
- El efecto Aharonov-Bohm, en el cual un electrón se ve influido por un campo magnético confinado en un solenoide tiene explicación simplemente considerando que parte de la pulsación que representa el electrón atraviesa el solenoide, quedando por tanto afectado.
- El que se considere al electrón como un objeto sin dimensión (puntual), sin ninguna estructura interna.

Por otro lado, esto conlleva a la ausencia de la acción a distancia. El campo eléctrico o gravitatorio de los electrones se perciben porque efectivamente estamos atravesando a los electrones.

Para determinar el origen de la inercia resulta muy interesante observar la propagación de las ondas electromagnéticas en una guía de ondas como las que se utilizan para transmitir señales electromagnéticas. Las ondas cuya frecuencia es inferior a una frecuencia mínima, denominada de corte, no se transmiten, mientras que las de frecuencia superior se transmiten a una velocidad mayor cuanto más alta es su frecuencia, es decir, las pulsaciones más energéticas presentan una velocidad de grupo mayor.

El modo de propagación de una onda cuya frecuencia sea ω en una guía de onda con una frecuencia de corte ω_0 viene dada por la siguiente relación:

$$\beta = \frac{1}{c} \sqrt{\omega^2 - \omega_0^2}$$

La velocidad con la que efectivamente se transmiten la información y la energía dentro de una guía de onda viene representada por la velocidad de grupo, que se define como la derivada de la frecuencia con respecto al modo de propagación $d\omega/dk$.

Derivando la expresión anterior con respecto a ω tenemos:

$$\frac{d\beta}{d\omega} = \frac{\omega}{c\sqrt{\omega^2 - \omega_0^2}}$$

así que la velocidad de grupo de una onda de frecuencia ω en una guía de onda con una frecuencia de

corte ω_0 es:
$$v_g = \frac{d\omega}{d\beta} = \frac{c\sqrt{\omega^2 - \omega_0^2}}{\omega} = c\sqrt{1 - \left(\frac{\omega_0}{\omega}\right)^2}$$

y reordenando tenemos:

$$\left(\frac{v_g}{c}\right)^2 = 1 - \left(\frac{\omega_0}{\omega}\right)^2 \rightarrow \frac{\omega_0}{\omega} = \sqrt{1 - \left(\frac{v_g}{c}\right)^2} \rightarrow \frac{\omega}{\omega_0} = \frac{1}{\sqrt{1 - \left(\frac{v_g}{c}\right)^2}} \text{ y por tanto:}$$

$$\omega = \frac{\omega_0}{\sqrt{1 - \left(\frac{v_g}{c}\right)^2}}$$

Si multiplicamos por la constante de Planck h tenemos:

$$\omega h = \frac{\omega_0 h}{\sqrt{1 - \left(\frac{v_g}{c}\right)^2}} \text{ y recordando que la energía de una onda viene dada por la expresión } E = h \omega$$

nos queda:
$$E = \frac{E_0}{\sqrt{1 - \left(\frac{v_g}{c}\right)^2}}$$

Es decir, de una manera bastante sorprendente una onda electromagnética adquiere las mismas propiedades que una partícula material cuando es guiada por una estructura metálica o por otras condiciones de contorno, como es el caso de la fibra de vidrio.

En las páginas posteriores vamos a aceptar implícitamente que existe un tipo de ondas entre cuyas propiedades se incluye la de interaccionar entre ellas intercambiando energía. Dicha interacción se produce modificando la frecuencia y la fase. Dichas ondas conformarían lo que conocemos como electrones. En este sentido las constantes de integración no deberían normalizarse para obtener una probabilidad de 1, sino para que se ajusten al flujo de energía del electrón.

6.2 Ecuación de Klein-Gordon. Longitud de onda de D'Broglie.

Si partimos de la ecuación de onda gravitomagnética en 6D tenemos:

$$(\nabla_{6D}^2 + k^2) \cdot H = 0$$

Como $k^2 = \left(\frac{m_0 c}{\hbar} i\right)^2 + \beta^2$ podemos escribir:
$$\left[\nabla_{6D}^2 + \left(\frac{m_0 c}{\hbar} i\right)^2 + \beta^2 \right] \cdot H = 0 \quad (a)$$

La velocidad de grupo se define como:
$$v_g = \frac{c^2 \beta}{2\pi f_0} \rightarrow \beta = \frac{v_g \cdot 2\pi f_0}{c^2}$$

Si tenemos en cuenta que $\omega = 2\pi f_0$ podemos escribir:

$$\beta = \frac{v_g \cdot \omega}{c^2} = \left(\frac{v_g}{c}\right) \cdot \left(\frac{\omega}{c}\right)$$

Considerando que $k = \frac{\omega}{c}$ y sustituyendo en (a)

$$\left(\frac{\omega}{c}\right)^2 = \left(\frac{m_0 c}{\hbar} i\right)^2 + \left(\frac{v_g}{c}\right)^2 \cdot \left(\frac{\omega}{c}\right)^2$$

$$\left(\frac{\omega}{c}\right)^2 \left[1 - \left(\frac{v_g}{c}\right)^2\right] = \left(\frac{m_0 c}{\hbar} i\right)^2, \text{ como } \frac{v_g}{c} = \varepsilon \text{ tenemos } \left(\frac{\omega}{c}\right)^2 [1 - \varepsilon^2] = \left(\frac{m_0 c}{\hbar} i\right)^2$$

y recordando que hemos postulado que k era imaginario tenemos :

$$k = \frac{m_0 c}{\hbar} \cdot \frac{1}{\sqrt{1 - \varepsilon^2}} \cdot i, \text{ si tenemos en cuenta que } m = \frac{m_0}{\sqrt{1 - \varepsilon^2}}$$

y sustituimos en la ecuación de onda tendríamos entonces:

$$\left[\nabla_{6D}^2 + \left(\frac{m c}{\hbar} i\right)^2 \right] \cdot H = 0 \text{ similar a la ecuación de Klein-Gordon independiente del tiempo.}$$

Esta ecuación debe resolverse para 6 dimensiones, no para cuatro, por eso esta ecuación fracasó cuando se aplicó al átomo de hidrógeno.

Si multiplicamos y dividimos por c nos queda:
$$k = \frac{1}{\hbar c} \cdot \frac{m_0 c^2}{\sqrt{1 - \varepsilon^2}} \cdot i = \frac{\text{Energía}_{\text{onda}}}{\hbar c} \cdot i$$

Esta ultima relación nos va a permitir resolver la ecuación de onda de los electrones cuando están sometidos a un campo de fuerzas.

Por otro lado si volvemos a la ecuación:

$$k = \frac{m_0 c}{\hbar} \cdot \frac{1}{\sqrt{1 - \varepsilon^2}} \cdot i \text{ y teniendo en cuenta que } k^2 = \left(\frac{m_0 c}{\hbar} i\right)^2 + \beta^2$$

Podemos escribir
$$\left(\frac{m_0 c}{\hbar} i\right)^2 \cdot \frac{1}{1 - \varepsilon^2} = \left(\frac{m_0 c}{\hbar} i\right)^2 + \beta^2$$

$$\left(\frac{m_0 c}{\hbar} i\right)^2 \cdot \left[\frac{1}{1 - \varepsilon^2} - 1\right] = \beta^2 \text{ Por tanto } \beta^2 = \left(\frac{m_0 c}{\hbar} i\right)^2 \cdot \left[\frac{1 - 1 + \varepsilon^2}{1 - \varepsilon^2}\right] = \left(\frac{m_0 c}{\hbar} i\right)^2 \cdot \left[\frac{\varepsilon^2}{1 - \varepsilon^2}\right]$$

Luego:

$$\beta = \frac{m_0 c}{\hbar} \cdot \left[\frac{\varepsilon}{\sqrt{1-\varepsilon^2}} \right] i \quad \text{y como} \quad \frac{v_g}{c} = \varepsilon \quad \text{nos queda finalmente:}$$

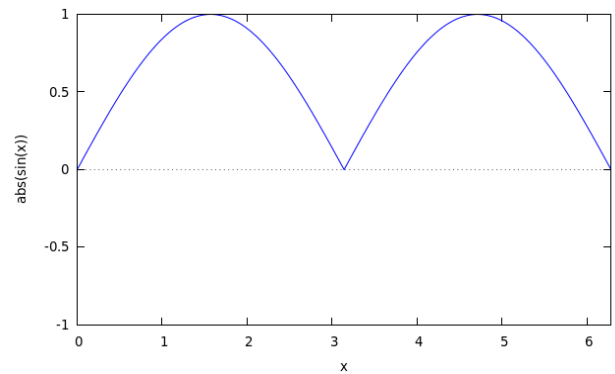
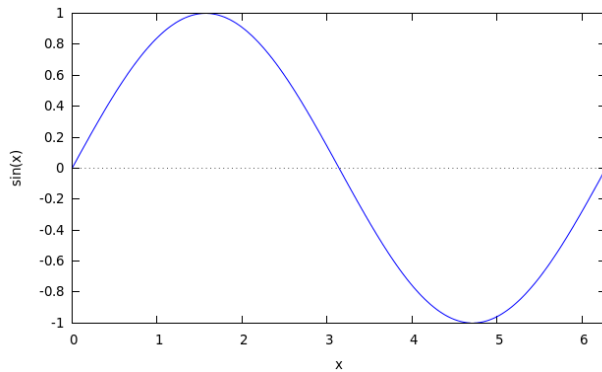
$$\beta = \frac{m_0 v_g}{\hbar} \cdot \left[\frac{1}{\sqrt{1-\varepsilon^2}} \right] i$$

La longitud de onda asociada al modo de propagación será:

$$\beta = \frac{\pi}{\lambda} \rightarrow \lambda = \frac{\pi}{\beta} = \frac{\pi \hbar \cdot \sqrt{1-\varepsilon^2}}{m_0 v_g} i = \frac{\pi \hbar \cdot \sqrt{1-\varepsilon^2}}{2 \pi m_0 v_g} i$$

Finalmente tendremos:

$$\boxed{\lambda = \frac{\hbar \cdot \sqrt{1-\varepsilon^2}}{2 m_0 v_g} i} \quad \text{lo que representa una semilongitud de onda de D'Broglie.}$$



7. Aplicación de la ecuación de onda gravitomagnética al átomo de hidrógeno.

7.1 Ecuación de onda para el átomo de hidrógeno.

Si utilizamos un sistema de coordenadas esféricas para las dimensiones extendidas y circular para las compactadas y consideramos un potencial eléctrico tridimensional la ecuación de onda sería:

$$(\nabla_{6D}^2 + k^2) \cdot H = 0 \quad \text{donde} \quad k = \frac{E_{\text{onda}}}{\hbar c} i$$

La energía total de la pulsación tendrá los siguientes términos:

- Energía de la pulsación en reposo: $E_0 = mc^2$
- Energía cinética: E_c

Como la energía cinética no es conocida a priori y el electrón se va a mover en un campo potencial eléctrico podemos expresarla como la diferencia entre:

- Energía mecánica: E_m
- Energía potencial eléctrica. Si consideramos que debido a su gran masa con respecto al electrón el protón se mantiene inmóvil podemos expresar la energía debida al campo eléctrico como

$$E_{\text{ELEC}} = \frac{-1}{4\pi\epsilon_0} \frac{Qq}{r} = \frac{-1}{4\pi\epsilon_0} \frac{e^2}{r}$$

Por tanto tendremos que:

$$k = \frac{E_{\text{onda}}}{\hbar c} i = \frac{mc^2 + E_m - \frac{1}{4\pi\epsilon_0} \frac{e^2}{r}}{\hbar c} i = \left(\frac{mc^2 + E_m}{\hbar c} - \frac{e^2}{\hbar c 4\pi\epsilon_0 r} \right) i \quad \text{y si llamamos a} \quad \alpha = \frac{e^2}{\hbar c 4\pi\epsilon_0}$$

podemos escribir:

$$\nabla_{6D}^2 H - \left(\frac{mc^2 + E_m}{\hbar c} - \frac{\alpha}{r} \right)^2 H = 0$$

Desarrollando tenemos:

$$\nabla^2 H - \left(\frac{m^2 c^4}{\hbar^2 c^2} + \frac{E_m^2}{\hbar^2 c^2} + \frac{2E_m mc^2}{\hbar^2 c^2} + \frac{\alpha^2}{r^2} - \frac{2mc^2 \alpha}{\hbar c r} - \frac{2E_m \alpha}{\hbar c r} \right) H = 0$$

agrupando nos queda:

$$\nabla^2 H - \left(\frac{mc}{\hbar} \right)^2 H - \left(\frac{E_m}{\hbar c} \right)^2 H - \frac{2mc^2}{\hbar c} \left(\frac{E_c}{\hbar c} - \frac{\alpha}{r} \right) H - \left(\frac{\alpha^2}{r^2} - \frac{2E_m \alpha}{\hbar c r} \right) H = 0$$

Se puede solucionar mediante separación de variables

$$H(\xi, \eta, x, y, z) = \Phi(\xi, \eta) \cdot \Psi(r, \theta, \phi)$$

que permite separar los laplacianos utilizando el mismo postulado que en el punto 5.2.

$$\nabla_{\xi, \eta}^2 \Phi - \left(\frac{mc}{\hbar}\right)^2 \Phi = 0 \quad \text{De solución análoga a la de la partícula libre.} \quad (\text{I})$$

$$\nabla_{r, \theta, \phi}^2 \Psi - \left[\left(\frac{E_m}{\hbar c}\right)^2 - \frac{2E_m \alpha}{\hbar c r} \right] \Psi - \frac{2mc^2}{\hbar c} \left(\frac{E_m - \alpha}{\hbar c} - \frac{\alpha}{r}\right) \Psi - \left(\frac{\alpha^2}{r^2}\right) \Psi = 0 \quad (\text{II})$$

Sacando factor común en (II)

$$\nabla^2 \Psi - \frac{E_m}{\hbar c} \left[\frac{E_m}{\hbar c} - \frac{2\alpha}{r} \right] \Psi - \frac{2mc^2}{\hbar c} \left(\frac{E_m - \alpha}{\hbar c} - \frac{\alpha}{r} \right) \Psi - \left(\frac{\alpha^2}{r^2} \right) \Psi = 0$$

En el caso no relativista $mc^2 \gg E_m$ y el término $\frac{E_m}{\hbar c} \left[\frac{E_m}{\hbar c} - \frac{2\alpha}{r} \right] \Psi$ es despreciable frente a

$\frac{2mc^2}{\hbar c} \left(\frac{E_m - \alpha}{\hbar c} - \frac{\alpha}{r} \right) \Psi$ y por tanto podemos escribir:

$$\nabla^2 \Psi - \frac{2m_0 c}{\hbar} \left(\frac{E_m - \alpha}{\hbar c} - \frac{\alpha}{r} \right) \Psi - \left(\frac{\alpha^2}{r^2} \right) \Psi = 0$$

7.2 Ecuación de Schrodinger.

Si escribimos la ecuación de Schrodinger tenemos:

$$\frac{i}{c} \cdot \frac{\partial}{\partial t} \Psi = -\frac{1}{2} \frac{\hbar}{m_0 c} \nabla^2 \Psi - \frac{\alpha}{r} \Psi$$

Si tenemos en cuenta que $\frac{i}{c} \cdot \frac{\partial}{\partial t} \Psi = \frac{E}{\hbar c} \Psi$ nos queda:

$$\left(\frac{E}{\hbar c} - \frac{\alpha}{r} \right) \Psi = -\left(\frac{1}{2} \frac{\hbar}{m_0 c} \right) \nabla^2 \Psi \quad \text{y despejando y reordenando tendríamos:}$$

$$\boxed{\nabla^2 \Psi + \frac{2m_0 c}{\hbar} \left(\frac{E}{\hbar c} - \frac{\alpha}{r} \right) \Psi = 0} \quad \text{que presenta evidentes analogías con la ecuación anterior.}$$

7.3 Resolución de la ecuación para las dimensiones extendidas. Caso no relativista.

Si partimos de la ecuación:

$$\boxed{\nabla^2 \Psi - \frac{2m_0 c}{\hbar} \left(\frac{E_m}{\hbar c} - \frac{\alpha}{r} \right) \Psi - \left(\frac{\alpha^2}{r^2} \right) \Psi = 0} \quad , \text{ aplicando el laplaciano en esféricas tenemos:}$$

$$\frac{1}{r^2} \frac{\partial}{\partial r} \left(r^2 \frac{\partial \Psi}{\partial r} \right) + \frac{1}{r^2 \text{Sen} \theta} \frac{\partial}{\partial \theta} \left(\text{Sen} \theta \frac{\partial \Psi}{\partial \theta} \right) + \frac{1}{r^2 \text{Sen}^2 \theta} \frac{\partial^2 \Psi}{\partial \phi^2} - \frac{2m_0 c}{\hbar} \left(\frac{E_m}{\hbar c} - \frac{\alpha}{r} \right) \Psi - \left(\frac{\alpha^2}{r^2} \right) \Psi = 0$$

Si descomponemos $\Psi(r, \theta, \phi) = R(r)P(\theta)T(\phi)$ tenemos entonces:

$$\frac{1}{r^2} \frac{\partial}{\partial r} (r^2 R' P T) + \frac{1}{r^2 \text{Sen} \theta} \frac{\partial}{\partial \theta} (\text{Sen} \theta R P' T) + \frac{1}{r^2 \text{Sen}^2 \theta} R P T'' - \frac{2m_0 c}{\hbar} \left(\frac{E_m}{\hbar c} - \frac{\alpha}{r} \right) R P T - \left(\frac{\alpha^2}{r^2} \right) R P T = 0$$

Si multiplicamos por $\frac{r^2 \text{Sen}^2 \theta}{R P T}$

$$\frac{\text{Sen}^2 \theta}{R} \frac{d}{dr} (r^2 R') + \frac{\text{Sen} \theta}{P} \frac{d}{d\theta} (\text{Sen} \theta P') + \frac{T''}{T} - r^2 \text{Sen}^2 \theta \frac{2m_0 c}{\hbar} \left(\frac{E_m}{\hbar c} - \frac{\alpha}{r} \right) - r^2 \text{Sen}^2 \theta \left(\frac{\alpha^2}{r^2} \right) = 0$$

Como tenemos un término que solo depende de ϕ y la suma debe ser constante por fuerza tenemos que:

$$\frac{T''}{T} = cte = -m_l^2$$

y cuya solución es: $T(\phi) = C_4 e^{-im_l \phi}$ con m_l semientero.

Sustituyendo entonces y dividiendo por $\text{Sen}^2 \theta$

$$\frac{1}{R} \frac{d}{dr} (r^2 R') + \frac{1}{P \text{Sen} \theta} \frac{d}{d\theta} (\text{Sen} \theta P') - \frac{m_l^2}{\text{Sen}^2 \theta} - r^2 \frac{2m_0 c}{\hbar} \left(\frac{E_m}{\hbar c} - \frac{\alpha}{r} \right) - \alpha^2 = 0$$

Ya tenemos separadas las variables.

$$\frac{1}{R} \frac{d}{dr} (r^2 R') - r^2 \frac{2m_0 c}{\hbar} \left(\frac{E_m}{\hbar c} - \frac{\alpha}{r} \right) - \alpha^2 = l(l+1)$$

$$\frac{1}{P \text{Sen} \theta} \frac{d}{d\theta} (\text{Sen} \theta P') - \frac{m_l^2}{\text{Sen}^2 \theta} = -l(l+1)$$

Como $\alpha^2 \ll l(l+1)$ podemos escribir:

$$\frac{1}{R} \frac{d}{dr} (r^2 R') - r^2 \frac{2m_0 c}{\hbar} \left(\frac{E_m}{\hbar c} - \frac{\alpha}{r} \right) = l(l+1) \quad (a)$$

$$\frac{1}{P \text{Sen} \theta} \frac{d}{d\theta} (\text{Sen} \theta P') - \frac{m_l^2}{\text{Sen}^2 \theta} = -l(l+1) \quad (b)$$

$$\frac{T''}{T} = -m_l^2 \quad (c)$$

La ecuación (b) se trata de la función asociada de Legendre, que junto con la ecuación (c) proporciona la solución de los armónicos esféricos. Las condiciones de contorno restringen la solución a $l=0,1,2,\dots$ junto con la condición $0 \leq |m_l| \leq l$

En principio m_l puede adoptar valores semienteros, pero los polinomios de Legendre de orden semientero presentan valores infinitos para $\theta=1$, por lo que no pueden tener significado físico.

Vamos a analizar la ecuación (a) para determinar los niveles de energía:

Si aplicamos la regla de la cadena y reagrupamos

$$2rR' + r^2 R'' - r^2 \left(\frac{2m_0 c^2 E_m}{(\hbar c)^2} - \frac{2m_0 c^2 \alpha}{\hbar c r} \right) R = l(l+1) R$$

Definimos la función

$$u(r) = rR$$

$$u'(r) = rR' + R$$

$$u''(r) = R' + rR'' + R' = 2R' + rR''$$

lo que nos permite escribir los dos primeros términos de forma simplificada:

$$2rR' + r^2 R'' = r(2R' + rR'') = ru''$$

y por tanto:

$$u'' - \left(\frac{2m_0 c^2 E_m}{(\hbar c)^2} - \frac{2m_0 c^2 \alpha}{\hbar c r} + \frac{l(l+1)}{r^2} \right) u = 0$$

Si realizamos un estudio asintótico de la función anterior cuando $r \rightarrow \infty$ se puede escribir:

$$u'' - \left(\frac{2m_0 c^2 E_m}{(\hbar c)^2} \right) u = 0$$

si llamamos

$$\beta^2 = \frac{2m_0 c^2 E_m}{(\hbar c)^2}$$

podemos escribir:

$$u'' - \left(\beta^2 - \frac{2m_0 c \alpha}{\hbar r} + \frac{l(l+1)}{r^2} \right) u = 0$$

Dividiendo por β^2 :

$$\frac{u''}{\beta^2} - \left(1 - \frac{2m_0 c \alpha}{\beta^2 \hbar r} + \frac{l(l+1)}{\beta^2 r^2} \right) u = 0$$

Como r aparece siempre multiplicado por β podemos realizar el siguiente cambio de variable $\rho = \beta r$ definiendo la función $U(\rho)$:

$$U'' - \left(1 - \frac{2m_0 c \alpha}{\beta \hbar \rho} + \frac{l(l+1)}{\rho^2} \right) U = 0$$

Si llamamos $\rho_0 = \frac{2m_0 c \alpha}{\beta \hbar}$

tenemos

$$U'' - \left(1 - \frac{\rho_0}{\rho} + \frac{l(l+1)}{\rho^2} \right) U = 0 \quad (d)$$

La ecuación (d) aparece en forma muy similar en la resolución de la ecuación de Schrodinger radial del átomo de hidrógeno y puede encontrarse su resolución en la literatura mediante su estudio asintótico y posterior desarrollo en serie. La condición para que la serie de términos no sea infinita es que para algún valor de j se cumpla la igualdad siguiente:

$$\boxed{2(j+l+1)=\rho_0} \text{ donde } j \text{ es un número entero.}$$

si llamamos $n=j+l+1$ nos queda:

$$\boxed{2n=\rho_0}$$

Si recordamos las definiciones:

$$\beta^2 = \frac{2mc^2 E_m}{(\hbar c)^2} \text{ y } \rho_0 = \frac{2m_0 c \alpha}{\beta \hbar}$$

podemos obtener la relación que cuantifica los niveles energéticos del electrón en el átomo de hidrógeno:

$$\frac{2mc\alpha}{\hbar \frac{\sqrt{2mE_m}}{\hbar}} = 2n \quad \rightarrow \quad \frac{mc\alpha}{\sqrt{2mE_m}} = n$$

Elevando al cuadrado

$$\frac{mc^2 \alpha^2}{2E_m} = n^2 \quad \text{Y eligiendo la solución negativa} \rightarrow \boxed{E_m = -\frac{mc^2 \alpha^2}{2n^2}}$$

que proporciona los mismos niveles energéticos que la ecuación de Schrodinger.

En realidad la ecuación (a) se trata de una variación de la función asociada de Lagerre y por tanto proporciona las mismas soluciones. Finalmente recalcar que la solución final vendrá dada por el producto de las 3 soluciones, es decir:

$H(\xi, \eta, x, y, z, t) = \Phi(\xi, \eta) \cdot \Psi(r, \theta, \varphi) \cdot e^{-\omega t}$, y que de dichas soluciones se pueden obtener los momentos angulares, que serían:

- Momento angular orbital $L = \sqrt{l(l+1)} \cdot \hbar$
- Proyección sobre el eje z del momento angular orbital $L_z = m_l \hbar$
- Momento angular de espín $L_s = m_s \hbar = \frac{\pm 1}{2} \hbar$

7.4 Resolución de la ecuación para las dimensiones extendidas. Caso relativista.

Si partimos de la ecuación de onda para las dimensiones extendidas:

$$\nabla^2 \Psi - \frac{E_m}{\hbar c} \left[\frac{E_m}{\hbar c} - \frac{2\alpha}{r} \right] \Psi - \frac{2mc^2}{\hbar c} \left(\frac{E_m}{\hbar c} - \frac{\alpha}{r} \right) \Psi - \left(\frac{\alpha^2}{r^2} \right) \Psi = 0$$

sacando factor común y reordenando tenemos:

$$\nabla^2 \Psi - \left[\frac{E_m^2 + 2mc^2 E_m}{(\hbar c)^2} - \frac{(2E_m + 2mc^2)\alpha}{\hbar c r} \right] \Psi - \left(\frac{\alpha^2}{r^2} \right) \Psi = 0$$

aplicando el laplaciano en esféricas tenemos:

$$\frac{1}{r^2} \frac{\partial}{\partial r} \left(r^2 \frac{\partial \Psi}{\partial r} \right) + \frac{1}{r^2 \text{Sen} \theta} \frac{\partial}{\partial \theta} \left(\text{Sen} \theta \frac{\partial \Psi}{\partial \theta} \right) + \frac{1}{r^2 \text{Sen}^2 \theta} \frac{\partial^2 \Psi}{\partial \phi^2} - \left[\frac{E_m^2 + 2mc^2 E_m}{(\hbar c)^2} - \frac{(2E_m + 2mc^2)\alpha}{\hbar c r} \right] \Psi - \left(\frac{\alpha^2}{r^2} \right) \Psi = 0$$

Si descomponemos $\Psi(r, \theta, \varphi) = R(r)P(\theta)T(\varphi)$ tenemos entonces:

$$\frac{1}{r^2} \frac{\partial}{\partial r} (r^2 R' P T) + \frac{1}{r^2 \text{Sen} \theta} \frac{\partial}{\partial \theta} (\text{Sen} \theta R P' T) + \frac{1}{r^2 \text{Sen}^2 \theta} R P T'' - \left[\frac{E_m^2 + 2mc^2 E_m}{(\hbar c)^2} - \frac{(2E_m + 2mc^2)\alpha}{\hbar c r} \right] R P T - \left(\frac{\alpha^2}{r^2} \right) R P T = 0$$

Si multiplicamos por $\frac{r^2 \text{Sen}^2 \theta}{R P T}$

$$\frac{\text{Sen}^2 \theta}{R} \frac{d}{dr} (r^2 R') + \frac{\text{Sen} \theta}{P} \frac{d}{d\theta} (\text{Sen} \theta P') + \frac{T''}{T} - r^2 \text{Sen}^2 \theta \left[\frac{E_m^2 + 2mc^2 E_m}{(\hbar c)^2} - \frac{(2E_m + 2mc^2)\alpha}{\hbar c r} \right] - r^2 \text{Sen}^2 \theta \left(\frac{\alpha^2}{r^2} \right) = 0$$

Como tenemos un término que solo depende de φ y la suma debe ser constante por fuerza tenemos que:

$$\frac{T''}{T} = \text{cte} = -m_l^2$$

y cuya solución es: $T(\varphi) = C_4 e^{-im_l \varphi}$ con m_l semientero.

Sustituyendo entonces y dividiendo por $\text{Sen}^2 \theta$

$$\frac{1}{R} \frac{d}{dr} (r^2 R') + \frac{1}{P \text{Sen} \theta} \frac{d}{d\theta} (\text{Sen} \theta P') - \frac{m_l^2}{\text{Sen}^2 \theta} - r^2 \left[\frac{E_m^2 + 2mc^2 E_m}{(\hbar c)^2} - \frac{(2E_m + 2mc^2)\alpha}{\hbar c r} \right] - \alpha^2 = 0$$

Ya tenemos separadas las variables.

$$\frac{1}{R} \frac{d}{dr} (r^2 R') - r^2 \left[\frac{E_m^2 + 2mc^2 E_m}{(\hbar c)^2} - \frac{(2E_m + 2mc^2)\alpha}{\hbar c r} \right] = l'(l'+1)$$

$$\frac{1}{P \text{Sen} \theta} \frac{d}{d\theta} (\text{Sen} \theta P') - \frac{m_l^2}{\text{Sen}^2 \theta} - \alpha^2 = -l'(l'+1)$$

Si llamamos $\alpha^2 - l'(l'+1) = -l(l+1)$ nos quedaría:

$$\frac{1}{R} \frac{d}{dr} (r^2 R') - r^2 \left[\frac{E_m^2 + 2mc^2 E_m}{(\hbar c)^2} - \frac{(2E_m + 2mc^2)\alpha}{\hbar c r} \right] = l'(l'+1) \quad (\text{a'})$$

$$\frac{1}{P \text{Sen} \theta} \frac{d}{d\theta} (\text{Sen} \theta P') - \frac{m_l^2}{\text{Sen}^2 \theta} = -l(l+1) \quad (\text{b'})$$

$$\frac{T''}{T} = \text{cte} = -m_l^2 \quad (\text{c'})$$

La segunda ecuación solo tiene solución para l entero positivo, por tanto podemos obtener los valores de l' en función de los posibles valores de l.

$$\alpha^2 - l' - l'^2 = -l(l+1) \rightarrow l'^2 + l' - \alpha^2 - l(l+1) = 0$$

Ecuación de segundo grado cuyas soluciones para los primeros valores de l son:

l	l'
0	-5,3254190509x10 ⁻⁵
	-0,9999467485
1	0,9999822494
	-1,9999822494
2	1,9999893497
	-2,9999893497
3	2,9999923927
	-3,99.....

Parece evidente que la solución con significado físico es la primera, por tanto podemos escribir:

l	l'	$\delta=l-l'$
0	-5,3254190509x10 ⁻⁵	5,325419051x10 ⁻⁵
1	0,9999822494	1,775055653x10 ⁻⁵
2	1,9999893497	1,065029359x10 ⁻⁵
3	2,9999923927	7,607344624x10 ⁻⁶
4	3,9999940832	5,916821056x10 ⁻⁶
5	4,999995159	4,841x10 ⁻⁶
6	5,9999959037	4,096259329x10 ⁻⁶
7	6,9999964499	3,55009114x10 ⁻⁶

Ya estamos en condiciones por tanto de resolver la ecuación (a):

$$\frac{1}{R} \frac{d}{dr} (r^2 R') - r^2 \left[\frac{E_m^2 + 2mc^2 E_m}{(\hbar c)^2} - \frac{(2E_m + 2mc^2)\alpha}{\hbar c r} \right] = l'(l' + 1)$$

aplicando la regla de la cadena y multiplicando por R tenemos:

$$2rR' + r^2 R'' - r^2 \left[\frac{E_m^2 + 2mc^2 E_m}{(\hbar c)^2} - \frac{(2E_m + 2mc^2)\alpha}{\hbar c r} \right] R = l'(l' + 1)R$$

Realizamos la siguiente sustitución:

$$u(r) = rR$$

$$u'(r) = rR' + R$$

$$u''(r) = R' + rR'' + R' = 2R' + rR''$$

lo que nos permite escribir los dos primeros términos de forma simplificada:

$$2rR' + r^2 R'' = r(2R' + rR'') = ru''$$

y por tanto:

$$ru'' - r^2 \left[\frac{E_m^2 + 2mc^2 E_m}{(\hbar c)^2} - \frac{(2E_m + 2mc^2)\alpha}{\hbar c r} \right] \frac{u}{r} = l'(l' + 1) \frac{u}{r}$$

operando tenemos:

$$u'' - r \left[\frac{E_m^2 + 2mc^2 E_m}{(\hbar c)^2} - \frac{(2E_m + 2mc^2)\alpha}{\hbar c r} \right] u = l'(l' + 1) \frac{u}{r}$$

Dividiendo por r y reordenando:

$$u'' - \left[\frac{E_m^2 + 2mc^2 E_m}{(\hbar c)^2} - \frac{(2E_m + 2mc^2)\alpha}{\hbar c r} + \frac{l'(l' + 1)}{r^2} \right] u = 0$$

Si realizamos un estudio asintótico de la función anterior cuando $r \rightarrow \infty$ se puede escribir:

$$u'' - \left[\frac{E_m^2 + 2mc^2 E_m}{(\hbar c)^2} \right] u = 0$$

si llamamos

$$\beta^2 = \frac{E_m^2 + 2mc^2 E_m}{(\hbar c)^2}$$

podemos escribir:

$$u'' - \left[\beta^2 - \frac{(2E_m + 2mc^2)\alpha}{\hbar c r} + \frac{l'(l' + 1)}{r^2} \right] u = 0$$

Dividiendo por β^2 :

$$\frac{u''}{\beta^2} - \left[1 - \frac{(2E_m + 2mc^2)\alpha}{\beta^2 \hbar c r} + \frac{l'(l' + 1)}{\beta^2 r^2} \right] u = 0$$

Como r aparece siempre multiplicado por β podemos realizar el siguiente cambio de variable $\rho = \beta r$ definiendo la función $U(\rho)$:

$$U'' - \left[1 - \frac{(2E_m + 2mc^2)\alpha}{\beta \hbar c \rho} + \frac{l'(l' + 1)}{\rho^2} \right] U = 0$$

Si llamamos

$$\rho_0 = \frac{(2E_m + 2mc^2)\alpha}{\beta \hbar c} \quad \text{podemos escribir:}$$

$$\boxed{U'' - \left[1 - \frac{\rho_0}{\rho} + \frac{l'(l' + 1)}{\rho^2} \right] U = 0} \quad (d')$$

La ecuación (d') aparece en la resolución de la ecuación de Schrodinger radial del átomo de hidrógeno y puede encontrarse su resolución en la literatura mediante su estudio asintótico y posterior desarrollo en serie. La condición para que la serie de términos no sea infinita es que para algún valor de j se cumpla la igualdad siguiente:

$$\boxed{2(j+l'+1)=\rho_0} \quad \text{donde } j \text{ es un número entero. Si escribimos } l' \text{ en función de } l \text{ tendremos:}$$

$$2(j+l-\delta(l)+1)=\rho_0 \quad \text{si llamamos } n=j+l+1 \text{ nos queda:}$$

$$2(n-\delta(l))=\rho_0 \quad \text{y llamando } n'(l)=n-\delta(l) \text{ la condición resulta en :}$$

$$\boxed{2n'(l)=\rho_0}$$

Si recordamos las definiciones:

$$\beta^2 = \frac{E_m^2 + 2mc^2 E_m}{(\hbar c)^2} \quad \text{y} \quad \rho_0 = \frac{(2E_m + 2mc^2)\alpha}{\beta \hbar c}$$

podemos obtener la relación que cuantifica los niveles energéticos del electrón en el átomo de hidrógeno si consideramos que la energía mecánica es negativa y por tanto su raíz cuadrada imaginaria:

$$n'(l) = \frac{(E_m + mc^2)\alpha}{i\sqrt{E_m^2 + 2mc^2 E_m}}$$

Si elevamos al cuadrado (apareciendo por supuesto soluciones extras) tenemos:

$$n'^2 = \frac{-(E_m + mc^2)^2 \alpha^2}{E_m^2 + 2mc^2 E_m}$$

operando

$$n'^2 E_m^2 + 2n'^2 mc^2 E_m = -(E_m \alpha + \alpha mc^2)^2$$

desarrollando el cuadrado del binomio y operando:

$$n'^2 E_m^2 + 2n'^2 mc^2 E_m + E_m^2 \alpha^2 + \alpha^2 (mc^2)^2 + 2E_m \alpha^2 mc^2 = 0$$

reordenando nos quedaría:

$$(n'^2 + \alpha^2) E_m^2 + 2mc^2 (n'^2 + \alpha^2) E_m + \alpha^2 (mc^2)^2 = 0$$

ecuación de segundo grado en E_m del tipo $ax^2 + bx + c = 0$

donde

$$a = n'^2 + \alpha^2$$

$$b = 2mc^2 (n'^2 + \alpha^2)$$

$$c = \alpha^2 (mc^2)^2$$

Y la solución será:

$$E_m = -mc^2 \left[1 \pm \sqrt{\frac{\alpha^2}{n'^2 + \alpha^2}} \right]$$

La segunda solución coincide numéricamente con la corrección relativista de primer orden a la ecuación de Schrodinger que aparece en la literatura.

$$E = -\frac{\alpha^2}{n^2} \left(\frac{3}{4n} - \frac{1}{l + \frac{1}{2}} \right)$$

Los resultados numéricos se muestran en la página siguiente:

La soluciones anteriores no reproducen cuantitativamente la estructura fina ni cualitativamente la estructura hiperfina porque en la expresión de la energía no se han introducido los términos magnéticos ni el momento magnético nuclear, pero basta para demostrar que las dos formulaciones son equivalentes.

l	l'	l'-l	μ	c	α	n	l	n'(l)	En eV	E (n') eV	E(n,l) eV	Dif. diezmilesimas
0	-5,3282E-005	-5,3254E-005	9,10E-031	299792458	0,0072973526	1	0	0,9999467458	-13,5982875367	-13,599192797	-13,5991926957	-0,001012656
1	0,9999822401	-1,7751E-005										
2	1,9999893441	-1,0650E-005			0,0072973526	2	0	1,9999467458	-3,3995718842	-3,3997189861	-3,3997189725	-0,0001362814
3	2,999923887	-7,6073E-006			0,0072973526	2	1	1,999822494	-3,3995718842	-3,399598285	-3,3995982846	-3,21175530615E-006
4	3,999940801	-5,9168E-006										
5	4,999951564	-0,000004841			0,0072973526	3	0	2,9999467458	-1,5109208374	-1,5109677754	-1,5109677716	-3,86328924407E-005
6	5,999959016	-4,0963E-006			0,0072973526	3	1	2,999822494	-1,5109208374	-1,5109320123	-1,5109320122	-1,28389521237E-006
7	6,99996448	-3,5501E-006			0,0072973526	3	2	2,999893497	-1,5109208374	-1,5109248604	-1,5109248603	-2,78053136071E-007
					0,0072973526	4	0	3,9999467458	-0,849892971	-0,8499134801	-0,8499134786	-1,57074475649E-005
					0,0072973526	4	1	3,999822494	-0,849892971	-0,8498983926	-0,8498983926	-4,91273688397E-007
					0,0072973526	4	2	3,999893497	-0,849892971	-0,8498953754	-0,8498953754	5,70987701565E-008
					0,0072973526	4	3	3,999923927	-0,849892971	-0,8498940823	-0,8498940823	-3,18922666054E-008
					0,0072973526	5	0	4,9999467458	-0,5439315015	-0,5439422193	-0,5439422186	-7,64989516178E-006
					0,0072973526	5	1	4,999822494	-0,5439315015	-0,5439344945	-0,5439344945	-1,67669211848E-007
					0,0072973526	5	2	4,999893497	-0,5439315015	-0,5439329497	-0,5439329497	8,13449307913E-008
					0,0072973526	5	3	4,999923927	-0,5439315015	-0,5439322877	-0,5439322877	-5,49404965966E-008
					0,0072973526	5	4	4,999940832	-0,5439315015	-0,5439319198	-0,5439319199	5,83488812822E-008

me mp
9,11E-031 1,67E-027

$$E_n = -\frac{mc^2 \alpha^2}{2}$$

$$E_{n'} = -mc^2 \left[1 \pm \sqrt{\frac{\alpha^2}{n'^2 + \alpha^2}} \right]$$

$$E(n, l) = -\frac{mc^2 \alpha^2}{2} - \frac{\alpha^2}{n^2} \left(\frac{3}{4n} - \frac{1}{l + \frac{1}{2}} \right)$$

Conclusiones

A pesar de los grandes éxitos alcanzados por la Física en los últimos 80 años, lo cierto es que disponemos de dos grandes teorías para describir la realidad que son incompatibles entre sí (Teoría de la Relatividad General y Mecánica cuántica). Estas incompatibilidades se han acrecentado con el paso del tiempo y han conducido al desarrollo de teorías e hipótesis que o bien se basan en la acumulación de parámetros libres sin fundamentación teórica (masas, cargas, espines,... del modelo estándar) o bien presentan postulados imposibles de comprobar actualmente (Teorías de cuerdas,...). Todas estos intentos de conciliar lo más pequeño con lo más grande comparten la incapacidad de efectuar predicciones básicas. Resulta por tanto imperativo efectuar una revisión profunda de los principios en los que basamos la Física a día de hoy.

Buscando interpretaciones alternativas a la teoría de la Relatividad Especial y más concretamente a la ecuación que liga la energía de un cuerpo en movimiento con su velocidad se encontró que tal vez esta teoría conlleva implícitamente el desplazamiento a la velocidad de la luz en al menos una dimensión adicional. Desde este punto de vista la geometrización del tiempo postulada por Minkowski sería un error de interpretación y podría ser sustituida con ventaja por la asunción del desplazamiento a la velocidad de la luz de todas las partículas en una nueva dimensión al estilo de la postulada por Kaluza. La adopción posterior de los postulados de Klein acerca del tamaño y topología de la dimensión de Kaluza junto con la isotropía experimental del Universo obligarían a postular la existencia de al menos otra dimensión adicional, lo que nos llevaría a la existencia de un plano de dimensiones compactadas en el que las partículas en aparente reposo se moverían en trayectorias cerradas a la velocidad de la luz.

Cualquier partícula en reposo absoluto es poseedora de cierta energía, y las dos teorías nos proporcionan diferentes formulaciones. Por un lado la TRG nos dice que ésta toma el valor $E=mc^2$, mientras que la expresión de la energía residual de vibración de un oscilador cuántico es

$$E_r = \frac{h \cdot \nu}{2} .$$
 Dado que ambas teorías han tenido un gran éxito en su respectivo campo de

aplicación, ¿ por qué no asumir que ambas son correctas? Si consideramos que ambas energías deben ser la misma y suponiendo movimientos circulares es posible estimar el radio de las trayectorias en el plano de las dimensiones adicionales. Esto permite interpretar la masa de las partículas realmente elementales como la inversa de la dimensión compactada radial y de valor

$$\xi_0 = \frac{\hbar}{2m_0c} ,$$
 que para el caso del electrón sería de $1,93079616 \cdot 10^{-13} \text{ m} .$

La combinación de este movimiento circular en las dimensiones compactadas con un movimiento en las dimensiones extendidas produciría trayectorias helicoidales y lo que ahora se interpreta como velocidad del tiempo debería considerarse como la velocidad de las partículas en el plano de las dimensiones compactadas. Un estudio más detallado de estos movimientos helicoidales proporciona una explicación coherente a la longitud de onda de D'Broglie y permite inferir que el principio de incertidumbre proviene del hecho de intentar analizar fenómenos que suceden en 5 dimensiones espaciales como si tuviesen solo 3 dimensiones espaciales.

Las ecuaciones de Einstein en su aproximación de campo débil se pueden linearizar, lo que permite escribirlas de una manera muy similar al electromagnetismo. Esta formulación es conocida como gravitomagnetismo. Dado que en el gravitomagnetismo dos corrientes de masa paralelas que circulan en el mismo sentido se repelen es posible encontrar una explicación intuitiva a la carga eléctrica como fuerzas entre corrientes de masa paralelas.

Al analizar cualitativamente el efecto que la curvatura del espacio tiene sobre las leyes físicas se observó que ésta actuaba de un modo similar a como actúa una lente convergente sobre una imagen, es decir, incrementa los efectos a distancias cortas, mientras que los disminuye a largas distancias. Por tanto muchas constantes físicas ($\mu_0, G, \epsilon_0, \dots$) deben aproximarse a la unidad cuando expresemos las leyes de la naturaleza en las 6 dimensiones postuladas. Es decir, las constantes son consecuencia de intentar analizar fenómenos que suceden en 5 dimensiones espaciales como si tuviesen solo 3 dimensiones espaciales.

Por otro lado este análisis permite interpretar la constante gravitatoria G como la superficie de las dimensiones compactadas, y se puede estimar el radio de las dimensiones compactadas en

$$\xi_u \approx \sqrt{\frac{G}{2\pi}} \approx 3 \cdot 10^{-6} \text{ m} .$$

Siguiendo estas directrices e interpretando el vector inducción eléctrica como la formulación en 5 dimensiones del vector inducción gravitomagnética en 6 dimensiones se obtiene que la relación masa-carga del electrón debería ser igual a

$$\frac{q}{m_0^2} = \frac{-8\pi \hat{G}}{\mu_0 \hbar} = 1,89650465 \cdot 10^{41} .$$

El valor experimental difiere ligeramente, ya que es de $\frac{e}{m_e^2} = 1,93077784 \cdot 10^{41}$.

Para obtener un valor correcto basta tomar un valor de $\hat{G} = 1,01807176$. Para explicar este valor de postula una forma elíptica en vez de circular para las dimensiones compactadas. Se obtiene que el momento magnético debería ser

$$\mu_g = \frac{-4\pi \hat{G} m_0}{\mu_0} , \text{ cuyo valor coincide con el magnetón de Bohr. Es decir, es posible estimar la}$$

carga y el momento magnético del electrón únicamente a partir de su masa.

Una vez explicado el origen del campo eléctrico el magnetismo se puede obtener del potencial eléctrico a través de los postulados de la electrodinámica relativista.

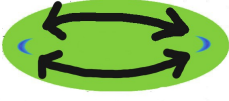
Si se aplican las ecuaciones de Einstein en su aproximación de campo débil a un espacio como el postulado en este trabajo se obtienen soluciones en forma de ondas. Dichas ondas se desplazan en trayectorias helicoidales debido al confinamiento producido por la curvatura de las dos dimensiones compactadas. Al utilizar un sistema de coordenadas cilíndrico-elíptico el laplaciano es separable, por lo que la solución estará compuesta por el producto de dos funciones, una dependiente de las dimensiones compactadas y otra de las dimensiones extendidas

$$H(\xi, \eta, x, y, z) = \Phi(\xi, \eta) \cdot \Psi(r, \theta, \phi) .$$

La solución para las dimensiones compactadas es una onda estacionaria expresada como funciones de Mathieu de orden semientero y parámetro q negativo. Se interpreta el orden de la solución como el espín de las partículas- pulsaciones

Estas ondas estacionarias son asimétricas en su sentido de giro, lo que provoca la aparición del campo electromagnético por fuerzas entre corrientes de masa paralelas y es el sentido de giro el que marca el signo de la carga (y diferencia las partículas de las antipartículas) . Las partículas- pulsación con espín impar presentan además asimetría geométrica (fermiones), mientras que las

partículas con espín par son simétricas geoméricamente (bosones con masa). La asociación de 2 electrones con espines opuestos (par de Cooper) y su comportamiento similar al de los bosones demuestra gráficamente esta idea.

		
Par partícula-antipartícula antes de su aniquilación	Bosón con masa	Fermión

La aplicación de los postulados de la hipótesis inicial lleva a que el número de ondas circular de corte sea $k_c = m_0 c / \hbar i$. Se ha mostrado que esto permite relacionar la velocidad de grupo de la onda con su frecuencia, de tal forma que se obtiene la ecuación relativista de la energía de un cuerpo. Es decir, el confinamiento de la onda gravitatoria provoca la aparición de la inercia.

También se ha mostrado que se debería utilizar la ecuación de Klein-Gordon en 6 dimensiones para modelizar el comportamiento de la partícula-pulsación. Para el caso de las dimensiones extendidas se ha estudiado los siguientes casos:

- Partícula en reposo: La onda aparenta ser una fuente puntual de campo gravitatorio y eléctrico.
- Partícula en estado de movimiento uniforme: La onda vista frontalmente aparenta ser una fuente puntual de campo gravitatorio y eléctrico, pero vista transversalmente aparenta ser una onda plana con una longitud de onda equivalente a la que postuló D'Broglie. Esta solución justifica la concepción dual onda-partícula.
- Átomo de hidrógeno. Se obtienen las mismas soluciones que la ecuación de Schrodinger, tanto para el caso relativista, como el no relativista.

Todo lo anterior lleva a postular que los electrones (y posiblemente el resto de partículas elementales) están constituidos por pulsaciones gravitatorias (solitones) guiadas por la curvatura de las dimensiones compactadas. Por tanto no pueden considerarse como partículas puntuales y se debe interpretar el cuadrado de la función de onda como el flujo de energía de la onda gravitatoria, rechazando la interpretación de Copenhague de la Mecánica cuántica. Esto soluciona la mayor parte de los experimentos paradójicos, como el de la doble rendija, por ejemplo.

Por otro lado, al tratarse de ondas estacionarias, modifican el medio en el que se transmiten, por lo que pueden interactuar entre ellas, mientras que las diferencias de fase entre las ondas introducirían el componente aleatorio. De hecho esto ultimo proporciona una explicación muy sencilla al efecto túnel.

Debería por tanto revisarse la concepción dual onda-partícula en favor de una concepción únicamente ondulatoria de naturaleza gravitacional con $\hat{G} \simeq 1$, ya que de esta forma se abre un camino hacia la unificación de todas las fuerzas y se proporciona una base única a las dos grandes teorías de la Física actual. Es destacable observar que se pueden sacar las mismas conclusiones con otras configuraciones de las dimensiones compactadas (ya sea en número, topología o tamaño), aunque la hipótesis aquí desarrollada es la mas sencilla que el autor ha podido encontrar.